

昭和58年度放射能調査報告書

昭和60年3月

海上保安庁 水路部

昭和58年度放射能調査報告書

目 次

1. 日本近海における海水及び海底土の放射能調査	1
1.1 調査の概要	1
1.2 試料	2
1.3 分析法	2
1.3.1 海水	2
1.3.2 海底土	3
1.4 放射能測定装置	4
1.5 結果	4
1.5.1 海水	4
1.5.2 海底土	5
2. 原子力軍艦寄港に伴う放射能調査	15
2.1 調査の概要	15
2.2 試料	15
2.2.1 海水	15
2.2.2 海底土	15
2.3 分析法	16
2.4 結果	16
2.4.1 海水	16
2.4.2 海底土	16
3. 核燃料再処理施設周辺海域の放射能調査	25
3.1 調査の概要	25
3.2 試料	25
3.3 放射能測定	26
3.3.1 γ 線分光分析	26
3.3.1.1 試料の処理	26
3.3.1.2 放射能測定装置	26

3.3.1.3	ピーク計数効率の算定法	26
3.3.1.4	測定目標核種	26
3.3.2	放射化学分析	26
3.4	粒度分析	27
3.5	結果	27
3.5.1	海水	27
3.5.2	海底土	27
4.	放射性固化体の試験的海洋処分に伴う放射能調査	43
4.1	調査の概要	43
4.2	試料採取	43
4.3	分析法	44
4.3.1	海水	44
4.3.2	海底土	45
4.4	放射能測定装置及び計測時間	45
4.5	結果	45
4.5.1	海水	46
4.5.2	海底土	46

1. 日本近海における海水及び海底土の放射能調査

1.1 調査の概要

核実験が海洋の自然環境に及ぼす影響の把握を目的として、日本近海における放射性核種濃度の分布と変動を調べる本調査は、昭和34年(1959年)に始まり、以来毎年、海上保安庁は日本周辺海域の海水(年4回)及び海底土(年1回)を採取し、放射化学分析によりこれら試料中の放射能の測定を行っている。試料の採取は下表の分担で行い、採取された試料はすべて本庁水路部に送付し、分析を行った。

昭和58年(1983年)中に採取された試料数は、海水48試料及び海底土14試料であった。

調査海域	海水	海底土	採取機関
黒潮流域	12		本庁, 十管区
親潮流域	10		一, 二, 各管区
日本海	26		一, 七, 八, 九, 各管区
東京湾等		14	本庁, 一, 二, 六, 八, 九, 十, 各管区
試料数計	48	14	

なお、各試料の分析核種は次のとおりである。

海水	{	ストロンチウム-90 (Sr-90 , 半減期 28年)
		セシウム-137 (Cs-137 , 半減期 30年)
		セリウム-144 (Ce-144 , 半減期 284日)
		ルテニウム-106 (Ru-106 , 半減期 1年)
海底土	{	コバルト-60 (Co-60 , 半減期 5.3年)
		セリウム-144
		ルテニウム-106
		セシウム-137
		ストロンチウム-90
		プルトニウム-239+240 (Pu-239 , 半減期 24390年) (Pu-240 ; 半減期 6580年)

1.2 試料

図1に、試料採取位置の概略を示す。海水を○印、海底土を●印でそれぞれ採取地点を表し試料の整理番号を付してある。

採取した海水（表面海水約20ℓ）は、ただちに塩酸（2 ml/ℓ海水）を加えたものを分析試料とした。また、海底土は本庁において乾燥（約80℃）、粉碎後、孔径2mmの篩を通したものを分析試料として用いた。

1.3 分析法

各試料は、核種ごとに次のような化学処理を施して分離し、ベータ統計測を行った。Ru-106の化学収率は比色法によって、又海底土のSrでは、標準添加法を用いる原子吸光光度法で、その他の核種の化学収率はいずれも添加した担体の回収重量から求めた。

1.3.1 海水

〔Ru-106〕 水酸化ナトリウムで中和した後、ルテニウムを次亜塩素酸ナトリウムで酸化、その後、亜硫酸水素ナトリウム、エチルアルコールで還元しルテニウムの化学形をそろえて水酸化マグネシウムと共沈させ、ろ別した。（上澄み液・ろ液はSr-90、Cs-137の分析に用いる。）沈殿物は1.75N塩酸に溶解し、陽イオン交換樹脂に通す。（陽イオン交換樹脂はCe-144の分析に用いる。）流出液は洗液と合わせ、中和し、次亜塩素酸ナトリウムを酸化剤としてⅤ価のルテニウムを得た後、四塩化炭素中に抽出、亜硫酸ナトリウムを含むアルカリ溶液中に逆抽出した。この一部は比色分析法に用い、他はエチルアルコールで還元し混合酸化物として沈殿させ、ろ別、乾燥して計測試料とした。

〔Ce-144〕 Ru-106の分析中に用いた陽イオン交換樹脂から4N硫酸でセリウムを溶解した。硝酸溶液中からⅣ価のセリウムをメチル・イソブチルケトン中に抽出、過酸化水素を含む水中に逆抽出し、これをシュウ酸塩として沈殿させ、ろ別、乾燥して計測試料とした。

〔Sr-90〕 Ru-106の分析中に得られた上澄み液・ろ液を酸性とした後イットリウム担体を加え2週間以上放置する。Sr-90と放射平衡にあるイットリウム-90（Y-90）を水酸化マグネシウムと共沈させ、ろ別する。（上澄み液・ろ液はCs-137の分析に用いる。）沈殿物を塩酸で溶解したジエチルヘキシルリン酸抽出法、さらに陽イオン交換法によってイットリウムを分離・精製しこれをシュウ酸塩として沈殿させ、ろ別、乾燥して計測試料とした。

〔Cs-137〕 Sr-90 の分析中に得られた上澄み液・ろ液を酸性とした後、リンモリブデン酸アンモニウムを加えセシウムを吸着させ、ろ別した。リンモリブデン酸アンモニウムを水酸化ナトリウム水溶液で溶解し、Duolite C-3 を用いる陽イオン交換法でセシウムをルビジウムから分離した。これを塩化白金酸塩として沈殿させ、ろ別、乾燥して計測試料とした。

1.3.2 海底土

〔Co-60〕 乾土300gを用い、次亜塩素酸ナトリウムで有機物を分解した後、熱8N塩酸で浸出し、浸出液を陰イオン交換樹脂に通しコバルトを吸着させた。(流出液・洗液はCs-137及びSr-90の分析に用いる。)吸着させたコバルトは、4N塩酸で溶離した後、テトラヒドロフラン-塩酸混液を用いる陽イオン交換法により分離精製し、銅板上に電着して計測試料とした。

〔Cs-137〕 Co-60の分析中に得られた流出液・洗液にリンモリブデン酸アンモニウムを加えセシウムを吸着させ、ろ別した。(上澄み液・ろ液はSr-90の分析に用いる。)以降の処理は海水と同様である。

〔Sr-90〕 Cs-137の分析中に得られた上澄み液・ろ液をアルカリ性とし、炭酸ナトリウムを加え、ストロンチウムを沈殿させた。沈殿物は硝酸で溶解し、その溶液を煮沸して炭酸ガスを除いた後、アンモニウム水で中和してアルミニウムを沈殿させ除去した。ろ液は酸性とした後、イットリウム担体を加え2週間以上放置する。以降の処理は海水と同様である。

〔Ce-144〕 乾土50gを用い、熱6N塩酸で浸出し、浸出液を1.5N溶液に希釈したものを陽イオン交換樹脂に通し、セリウムを吸着させ、これを4N塩酸で溶離した。以下の処理は海水と同様である。

〔Ru-106〕 乾土100gを用い、熱濃硝酸で浸出し、浸出液から過ヨウ素酸カリウムと過硫酸カリウムを酸化剤とする蒸留法によってルテニウムを分離した。比色分析法以下の処理は海水と同様である。

〔Pu-239+240〕 Pu-242標準溶液を添加した乾土50gを熱8.4N硝酸で浸出し、浸出液を蒸発濃縮した後、熱8.4N硝酸及び過酸化水素で処理した。処理した溶液は、陰イオン交換樹脂カラムに通しPu(IV)を吸着させた。8.4N硝酸及び10N塩酸で樹脂を洗浄後、ヨウ化アンモニウム-塩酸溶液でPu(IV)をPu(III)に還元し溶離した。分離・精製した試料はステンレス板上に電着してアルファ線スペクトル計測試料とした。

1.4 放射能測定装置

Y-90, Cs-137, Ce-144 及び Ru-106 のベータ線計測には、自動試料交換装置付低バックグラウンドガスフローカウンター（アロカ製 LBC-451 B型）を用いた。Co-60 及び海底土の Cs-137 のベータ線計測には低バックグラウンドベータ線スペクトロメータ（富士電気製ピコベータ）を用いた。

又、プルトニウムのアルファ線スペクトル計測には検出器として ORTEC 社製 BA-21-450-100 型 表面障壁型 Si 半導体検出器を、波高分析器として CANBERRA 社製 8605 型 マルチチャンネルアナライザーを用いた。

1.5 結 果

昭和58年（1983年）に採取した試料の測定結果を、海水、海底土についてそれぞれ表1及び表2に示す。測定値には計数誤差を付記した。なお、放射能濃度には、短半減期の同位体を含むことがある。

1.5.1 海 水

測定結果について各核種の最低値、最高値及び平均値を海域別に示せば次のとおりである。

	Sr-90			Cs-137			Ce-144			Ru-106		
	最低	最高	平均	最低	最高	平均	最低	最高	平均	最低	最高	平均
黒潮流域	0.04	0.12	0.07	0.06	0.18	0.12	0	0.02	0.01	0	0.10	0.02
親潮流域	0.03	0.10	0.06	0	0.12	0.05	0	0.06	0.01	0	0.25	0.05
日本海	0.05	0.16	0.10	0.02	0.16	0.11	0	0.07	0.02	0	0.08	0.02

単位：pCi/l

また、従来の値と比較するために、図2、3には1975年以降の Sr-90, Cs-137 について、図4、5には1974年以降の Ce-144, Ru-106 についての測定値の経年変化を海域別に示した。また、図6には Sr-90 及び Cs-137, 図7には Ce-144, Ru-106 について1961年以降の海域別年平均値の経年変化を示した。

これらの表や図が示すように Sr-90 及び Cs-137 は、この10年間、年ごとの小幅な増減はあるものの、ゆるやかな減少傾向が続いている。Ce-144 及び Ru-106 は前年に引き続き減少傾向にあり、大部分の測定値が 0.1 pCi/l 以下の非常に低いレベルとなっている。

1.5.2 海底土

測定結果について各核種の最低値，最高値，平均値は次のとおりである。

	Pu-239+240	Cs-137	Sr-90	Co-60	Ru-106	Ce-144
最低	8.9	18	0	0	0	3
最高	118	127	17	9.4	32	106
平均	45	66	2.9	2.4	9	38

単位：pCi/Kg-乾土

又，従来値と比較するために，図8，9に1974年以降の日本周辺海域におけるCo-60，Ce-144について，図10に1975年以降のRu-106について，更に図11，図12に1981年以降のCs-137，Sr-90について，それぞれ測定値の年平均値の経年変化を，測定された濃度変化とともに示した。

これらの表や図が示すように，日本周辺海域のCe-144及びRu-106は1981年に核実験の影響によると思われる若干の増加が見られたが，前年からは再び減少傾向に転じている。Co-60はCe-144，Ru-106と比較すると年毎の変動は小さくほぼ一定のレベルが続いている。Cs-137，Sr-90は1981年以降の3年間ではあるが，横ばいなし減少傾向となっている。

表 1 日本周辺海域放射能調査結果—海水（昭和58年）

Table 1 Radioactivity Survey Data of Surface Sea Water in the Adjacent Sea of JAPAN in 1983

試料番号	採取位置		採取年月日	放射能濃度 (pCi/ ℓ)			
	緯度	経度		⁹⁰ Sr	¹³⁷ Cs	¹⁴⁴ Ce	¹⁰⁶ Ru
黒潮流域							
1	28-00N	138-00E	1983. 3. 1	0.12±0.02	0.06±0.03	0.01±0.01	0.00±0.03
2	30-26N	132-04E	1983. 3. 6	0.06±0.02	0.17±0.04	-0.01±0.01	0.04±0.03
3	32-19N	136-01E	1983. 3. 9	0.06±0.02	0.09±0.03	-0.02±0.01	-0.02±0.03
4	29-50N	133-51E	1983. 5. 14	0.04±0.02	0.18±0.04	0.01±0.02	0.02±0.02
5	32-36N	135-39E	1983. 5. 15	0.06±0.03	0.14±0.03	0.00±0.01	0.02±0.02
6	30-00N	128-10E	1983. 5. 25	0.08±0.02	0.14±0.03	0.02±0.02	0.10±0.02
7	30-50N	130-50E	1983. 8. 9	0.08±0.02	0.10±0.04	0.01±0.01	0.00±0.02
8	34-00N	138-00E	1983. 8. 22	0.07±0.02	0.15±0.03	0.01±0.01	0.04±0.03
9	29-00N	135-40E	1983. 8. 24	0.06±0.02	0.08±0.03	0.00±0.01	-0.01±0.03
10	29-58N	139-59E	1983. 10. 28	0.07±0.02	-----	0.05±0.01	0.01±0.02
11	32-00N	133-41E	1983. 11. 7	0.07±0.02	0.09±0.02	0.02±0.01	0.02±0.02
12	30-44N	131-46E	1983. 11. 12	0.06±0.02	0.08±0.03	0.01±0.01	0.00±0.02
平均				0.07	0.12	0.01	0.02
親潮流域							
13	40-00N	142-30E	1983. 2. 10	0.08±0.02	-0.03±0.04	0.01±0.01	0.10±0.09
14	40-00N	145-00E	1983. 2. 10	0.05±0.02	-0.01±0.03	-0.01±0.02	0.25±0.05
15	43-04N	145-54E	1983. 4. 21	0.06±0.02	0.05±0.06	0.00±0.01	0.00±0.02
16	40-29N	148-32E	1983. 4. 22	0.03±0.02	0.12±0.04	0.01±0.01	0.00±0.02
17	40-00N	145-00E	1983. 6. 28	0.10±0.02	0.07±0.04	0.02±0.01	-0.01±0.02
18	40-00N	143-20E	1983. 6. 29	0.05±0.02	0.10±0.02	0.00±0.01	0.03±0.03
19	40-00N	145-00E	1983. 8. 4	0.04±0.02	0.02±0.04	-0.03±0.01	0.07±0.05
20	40-40N	143-20E	1983. 8. 4	0.04±0.02	0.08±0.04	0.01±0.01	0.02±0.04
21	40-00N	142-30E	1983. 11. 8	0.08±0.02	0.08±0.02	0.06±0.01	0.03±0.02
22	38-00N	142-00E	1983. 11. 10	0.10±0.03	-----	0.02±0.01	0.00±0.04
平均				0.06	0.05	0.01	0.05
日本海							
23	36-00N	135-15E	1983. 3. 4	0.12±0.03	0.09±0.05	0.01±0.01	-0.07±0.05
24	37-29N	134-11E	1983. 3. 5	0.09±0.02	0.02±0.07	0.02±0.01	-0.02±0.03
25	37-31N	138-00E	1983. 3. 10	0.11±0.02	0.04±0.04	0.01±0.01	0.00±0.02
26	38-58N	135-57E	1983. 3. 11	0.07±0.02	0.15±0.03	0.00±0.01	0.08±0.03
27	41-17N	139-30E	1983. 3. 16	0.08±0.03	0.06±0.04	0.02±0.02	0.01±0.02
28	42-30N	138-00E	1983. 3. 16	0.09±0.02	0.04±0.03	0.02±0.01	0.01±0.02
29	36-00N	135-30E	1983. 5. 30	0.05±0.02	0.16±0.03	0.04±0.01	0.03±0.02
30	37-30N	134-20E	1983. 5. 31	0.06±0.02	0.14±0.04	0.00±0.01	0.06±0.03
31	37-31N	138-01E	1983. 6. 1	0.06±0.02	0.13±0.04	0.02±0.01	-0.01±0.02
32	39-00N	136-00E	1983. 6. 2	0.09±0.02	0.11±0.03	0.00±0.01	0.01±0.02
33	34-25N	130-10E	1983. 7. 25	0.11±0.02	0.12±0.04	0.01±0.01	0.04±0.02
34	34-10N	129-50E	1983. 7. 25	0.08±0.02	0.12±0.05	0.01±0.01	-0.05±0.07
35	34-00N	129-30E	1983. 7. 25	0.13±0.02	0.10±0.04	0.04±0.01	0.02±0.02
36	33-40N	129-50E	1983. 7. 25	0.12±0.02	0.09±0.05	0.02±0.01	0.08±0.03
37	36-00N	135-30E	1983. 8. 10	0.13±0.02	0.12±0.04	-0.01±0.01	0.03±0.02
38	37-30N	134-20E	1983. 8. 11	0.13±0.03	0.05±0.05	0.00±0.01	0.00±0.06
39	41-17N	139-32E	1983. 8. 16	0.09±0.02	0.14±0.04	-0.02±0.01	0.06±0.03
40	42-30N	138-00E	1983. 8. 19	0.16±0.02	0.13±0.05	0.02±0.01	0.04±0.04
41	37-30N	138-00E	1983. 9. 8	0.16±0.03	0.08±0.03	0.01±0.01	0.02±0.04
42	38-59N	135-52E	1983. 9. 9	0.05±0.02	0.09±0.03	0.03±0.01	-----
43	37-30N	138-00E	1983. 11. 7	0.09±0.02	0.11±0.04	0.04±0.01	0.03±0.02
44	39-00N	135-56E	1983. 11. 8	0.10±0.02	-----	0.03±0.01	0.01±0.02
45	41-15N	139-30E	1983. 11. 16	0.07±0.02	0.15±0.04	0.03±0.01	0.04±0.02
46	42-30N	138-00E	1983. 11. 16	0.09±0.02	0.16±0.03	0.00±0.01	0.01±0.02
47	36-00N	135-30E	1983. 11. 21	0.12±0.02	0.15±0.07	0.07±0.01	0.05±0.03
48	37-30N	134-20E	1983. 11. 22	0.08±0.02	-----	0.04±0.01	0.04±0.03
平均				0.10	0.11	0.02	0.02

表 2 日本周辺海域放射能調査結果—海底土（昭和58年）

Table 2 Radioactivity Survey Data of Marine Sediments in the Adjacent Sea of JAPAN in 1983

試料番号	採取位置		採取年月日	水深 (m)	放射能濃度 (pCi/kg-乾土)					
	緯度	経度			$^{239+240}\text{Pu}$	^{137}Cs	^{90}Sr	^{60}Co	^{106}Ru	^{144}Ce
1	35-18.9N	139-42.1E	1983. 3. 8	49	31 ±2	48±1	0.4±0.2	4.3±0.3	7± 5	45±8
2	35-25.0N	139-44.2E	1983. 3. 8	35	22 ±2	34±1	0.9±0.9	0.9±0.2	-1± 6	23±7
3	35-31.7N	139-52.3E	1983. 3. 8	23	118 ±7	127±2	-----	2.9±0.3	32±19	37±8
4	38-25.7N	141-28.9E	1983. 7. 7	33	63 ±4	61±2	2.4±0.2	1.5±0.2	17± 4	106±8
5	35-35.0N	135-20.0E	1983. 7.23	50	54 ±4	110±2	2.0±0.2	1.6±0.2	9± 4	48±6
6	35-33.0N	135-30.0E	1983. 7.23	40	18 ±2	18±1	0.6±0.4	1.1±0.2	3± 3	23±6
7	35-46.0N	135-50.0E	1983. 7.23	90	28 ±2	60±2	4.3±0.6	1.9±0.2	2± 3	35±6
8	31-30.0N	130-37.9E	1983. 8.11	210	58 ±4	48±1	3.0±0.5	9.4±0.3	9± 4	38±6
9	43-12.2N	141-03.5E	1983. 8.20	15	26 ±2	52±2	0.4±0.5	1.0±0.2	10± 4	48±6
10	37-57.6N	139-01.4E	1983. 9. 8	23	8.9±0.8	19±1	-0.3±0.2	0.0±0.2	2± 3	22±5
11	34-13.0N	132-18.6E	1983. 9.14	18	28 ±2	110±2	3.1±1.9	0.7±0.2	14± 5	26±5
12	35-18.4N	139-42.2E	1983. 9.21	39	45 ±3	54±1	17 ±3	2.9±0.2	9± 4	41±6
13	35-25.8N	139-44.4E	1983. 9.21	35	54 ±3	86±2	0.9±0.7	3.3±0.2	12± 4	38±5
14	35-31.7N	139-52.5E	1983. 9.21	25	74 ±5	101±2	-----	1.4±0.2	8± 4	3±5
平均					45	66	2.9	2.4	9	38

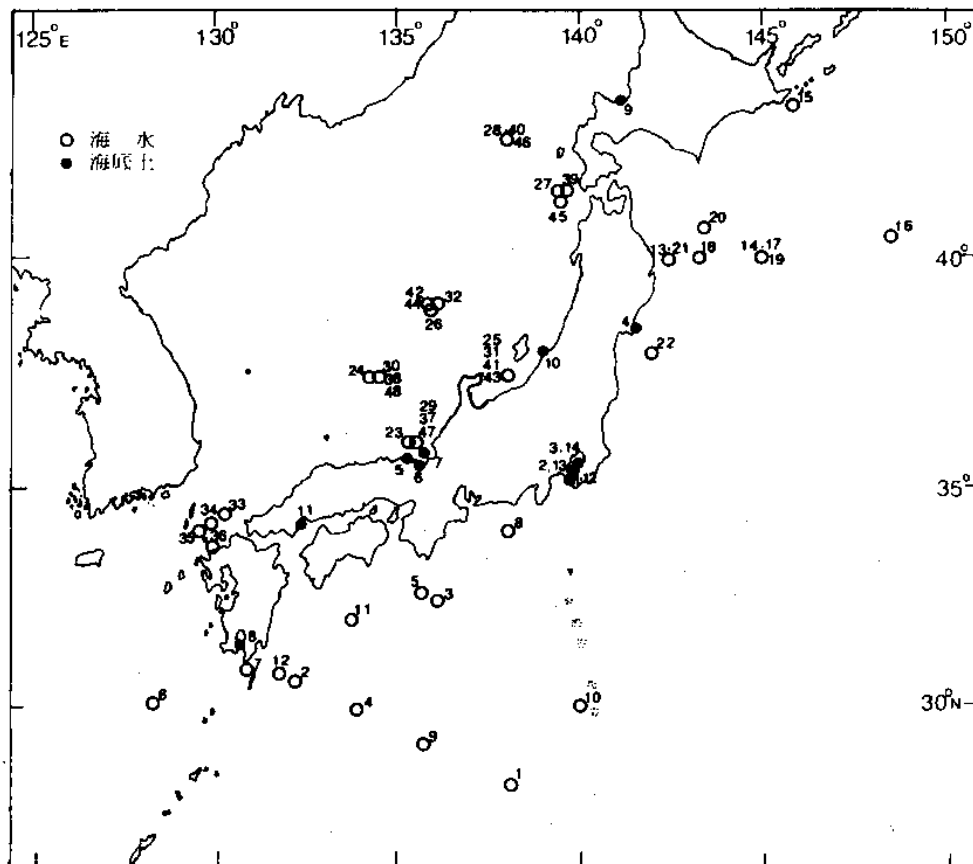


図 1 日本周辺海域放射能調査試料採取点および試料番号（昭和58年）

Fig. 1 Sampling Points and Sample Numbers of Surface Sea Water and Marine Sediments in 1983

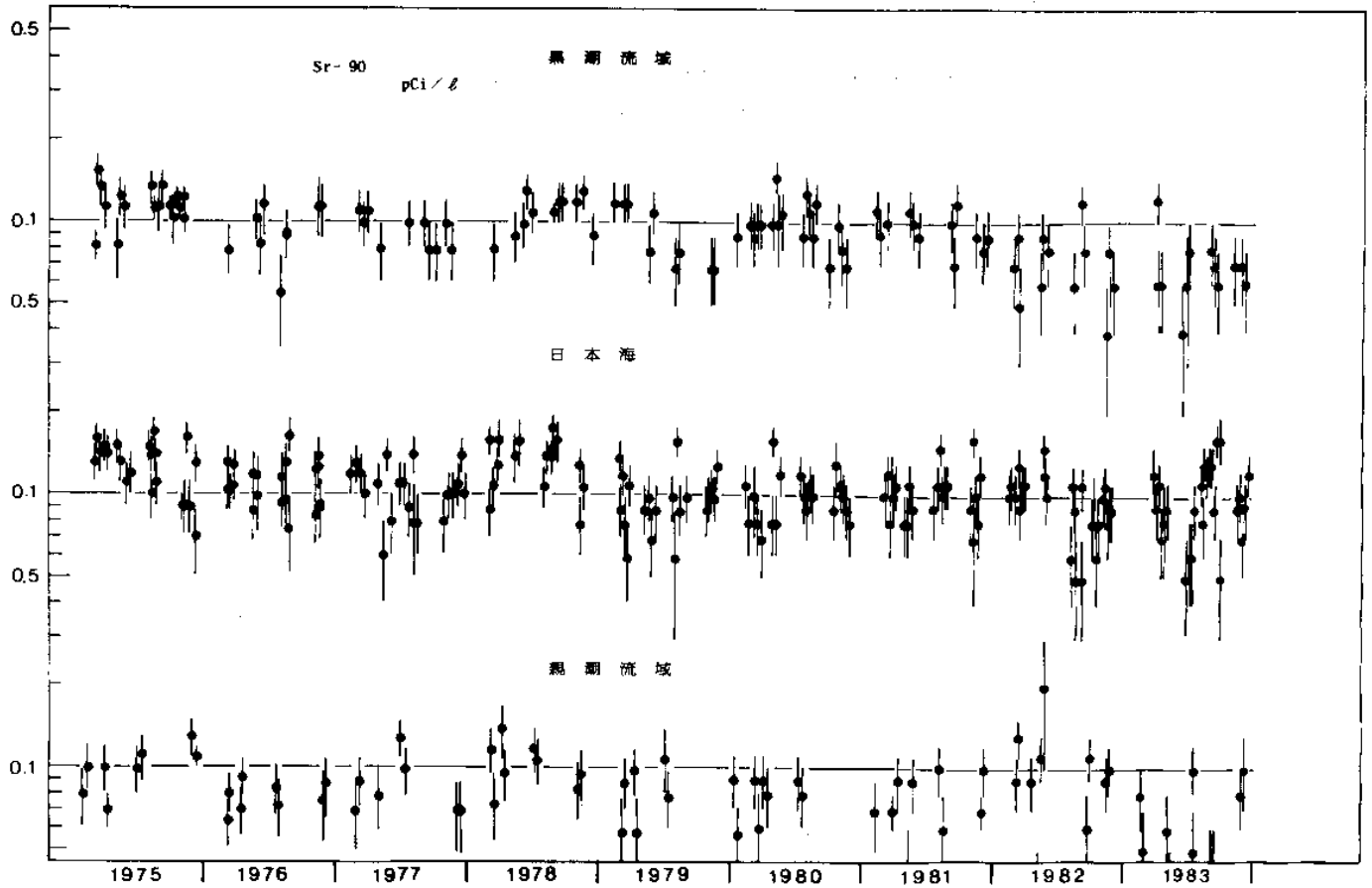


図 2 日本周辺海域表面海水中的Sr-90の経年変化

Fig. 2 Temporal Variation of Sr-90 Concentration in Surface Sea Water

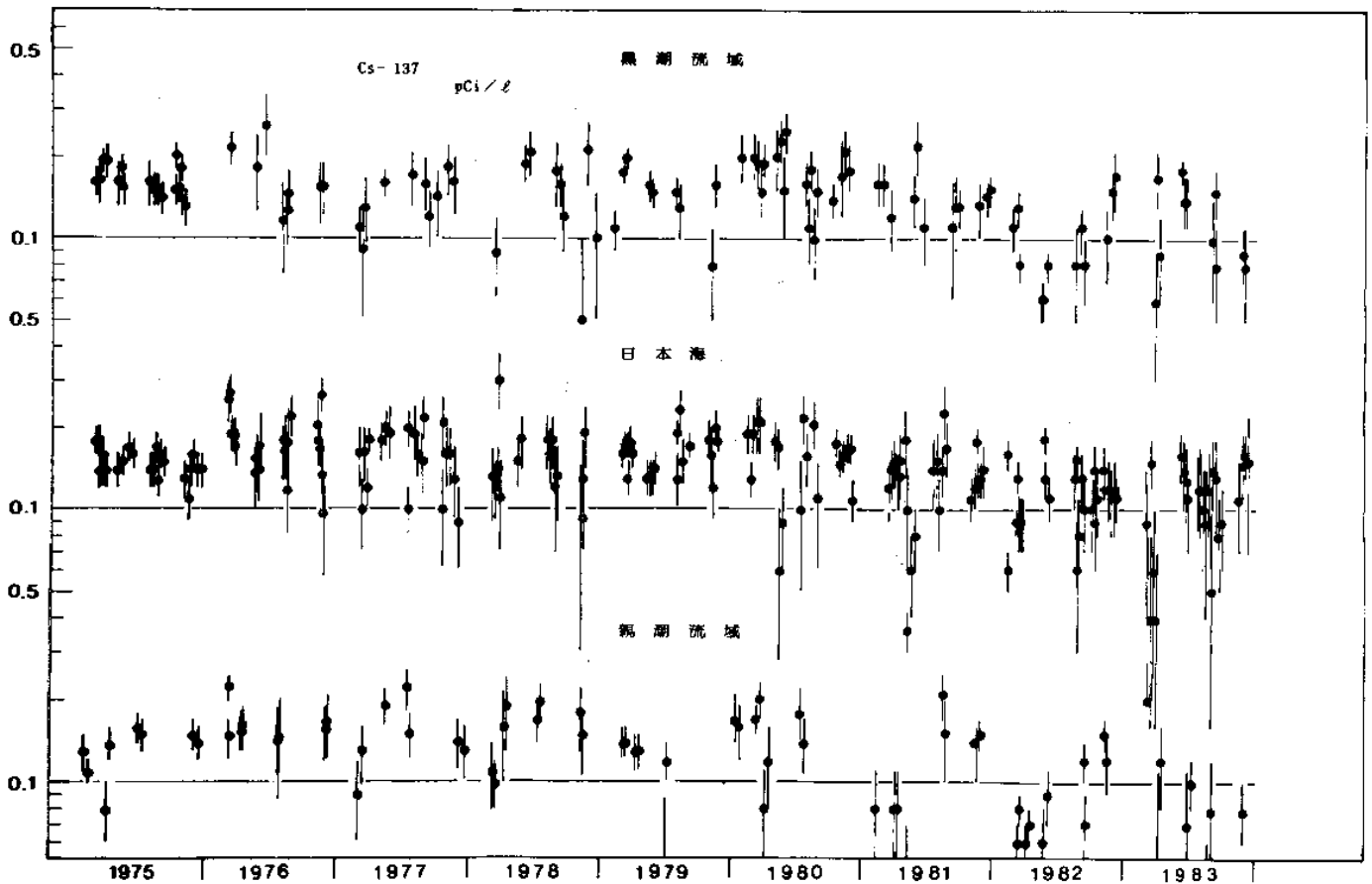


図 3 日本周辺海域表面海水中的Cs-137の経年変化

Fig. 3 Temporal Variation of Cs-137 Concentration in Surface Sea Water

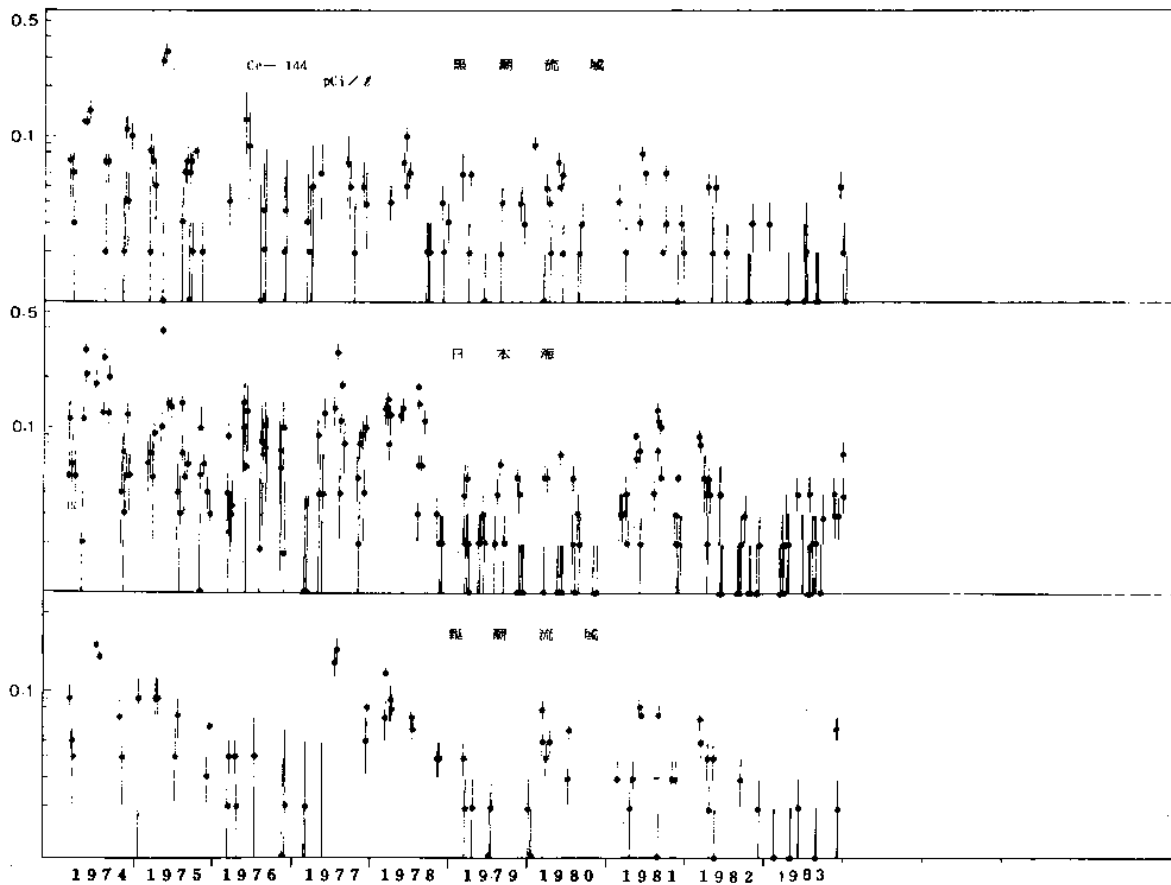


図 4 日本周辺海域表面海水中のCe-144の経年変化

Fig. 4 Temporal Variation of Ce-144 Concentration in Surface Sea Water

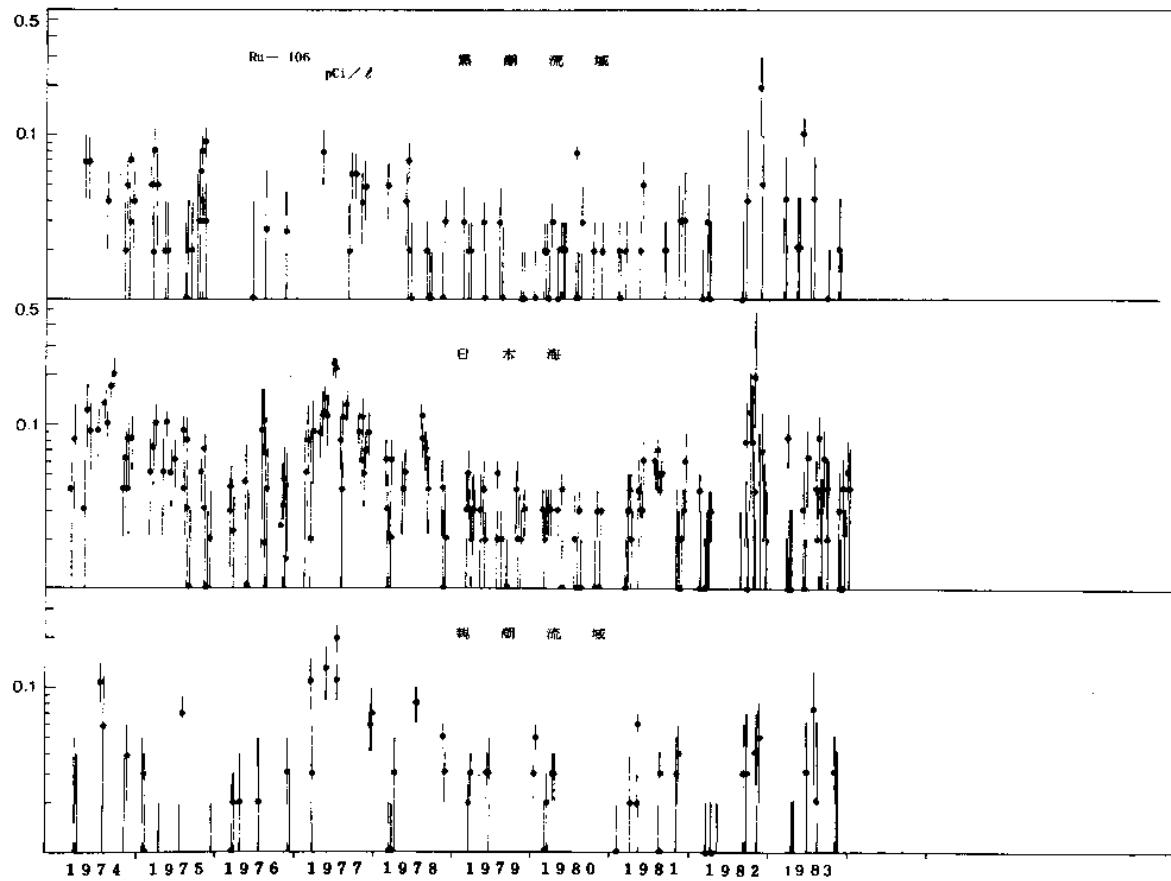


図 5 日本周辺海域表面海水中のRu-106の経年変化

Fig. 5 Temporal Variation of Ru-106 Concentration in Surface Sea Water

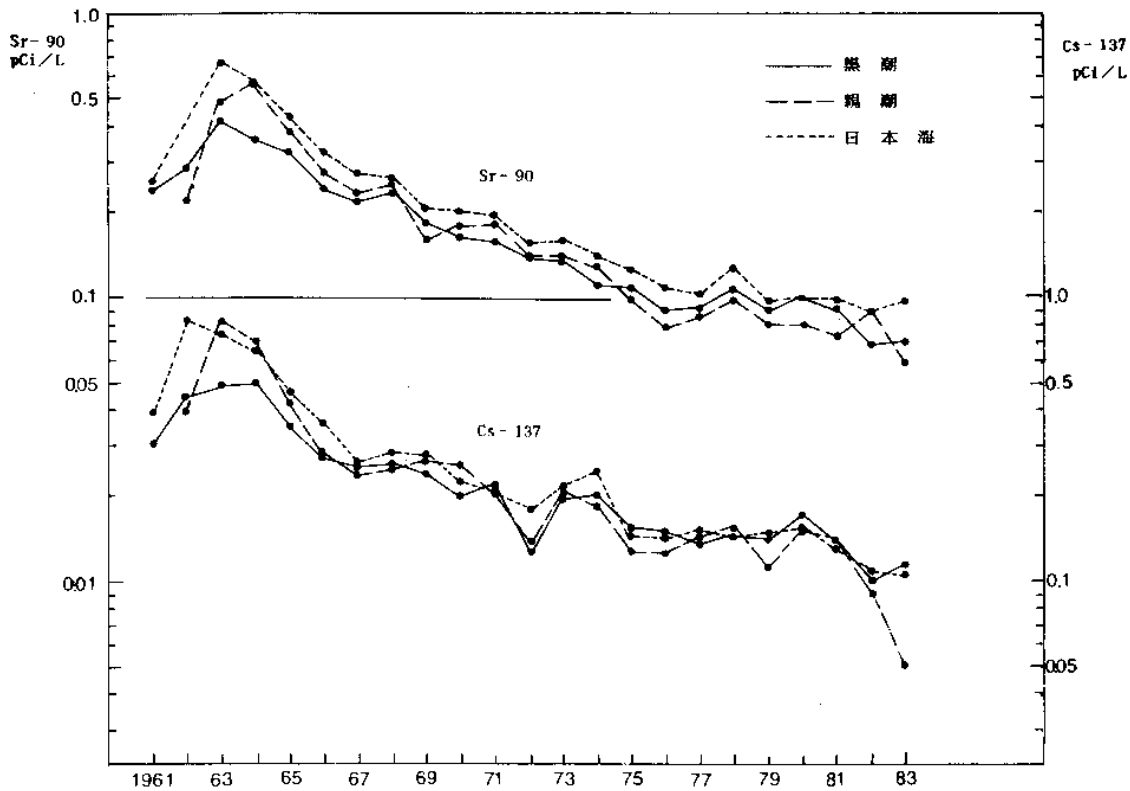


図 6 日本周辺海域表面海水中のSr-90およびCs-137の年平均濃度の経年変化
 Fig. 6 Temporal Variation of Yearly Mean Concentrations of Sr-90 and Cs-137 in Surface Sea Water

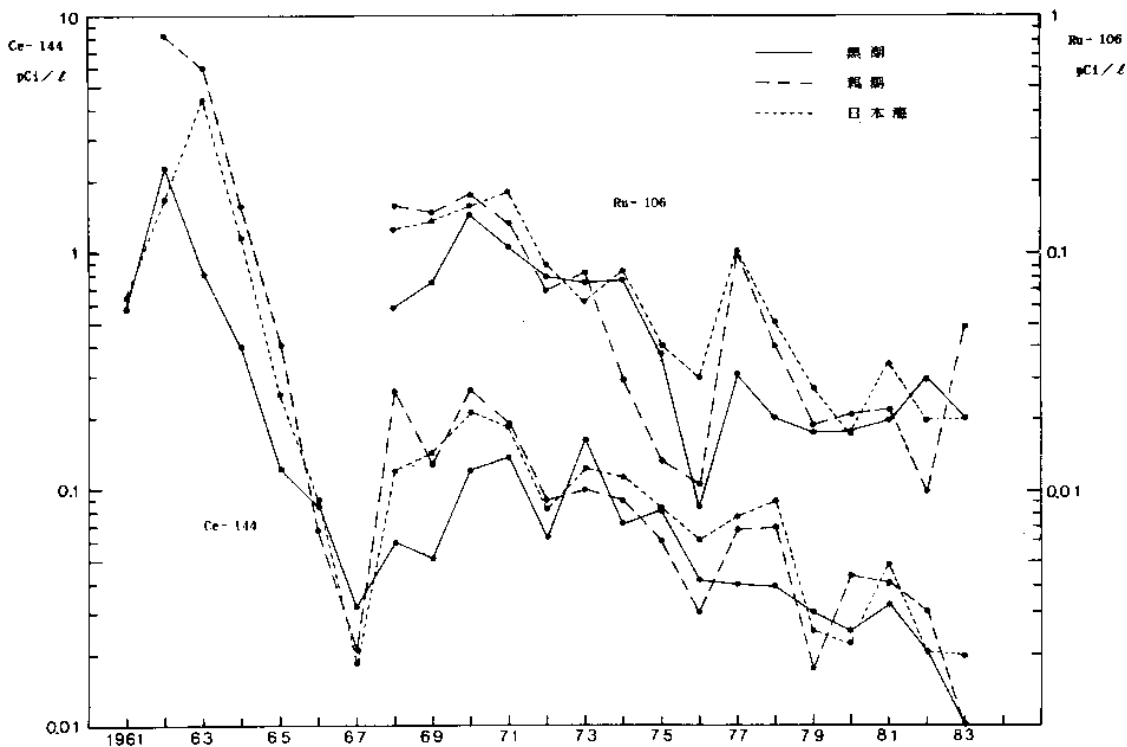


図 7 日本周辺海域表面海水中のCe-144およびRu-106の年平均濃度の経年変化
 Fig. 7 Temporal Variation of Yearly Mean Concentrations of Ce-144 and Ru-106 in Surface Sea Water

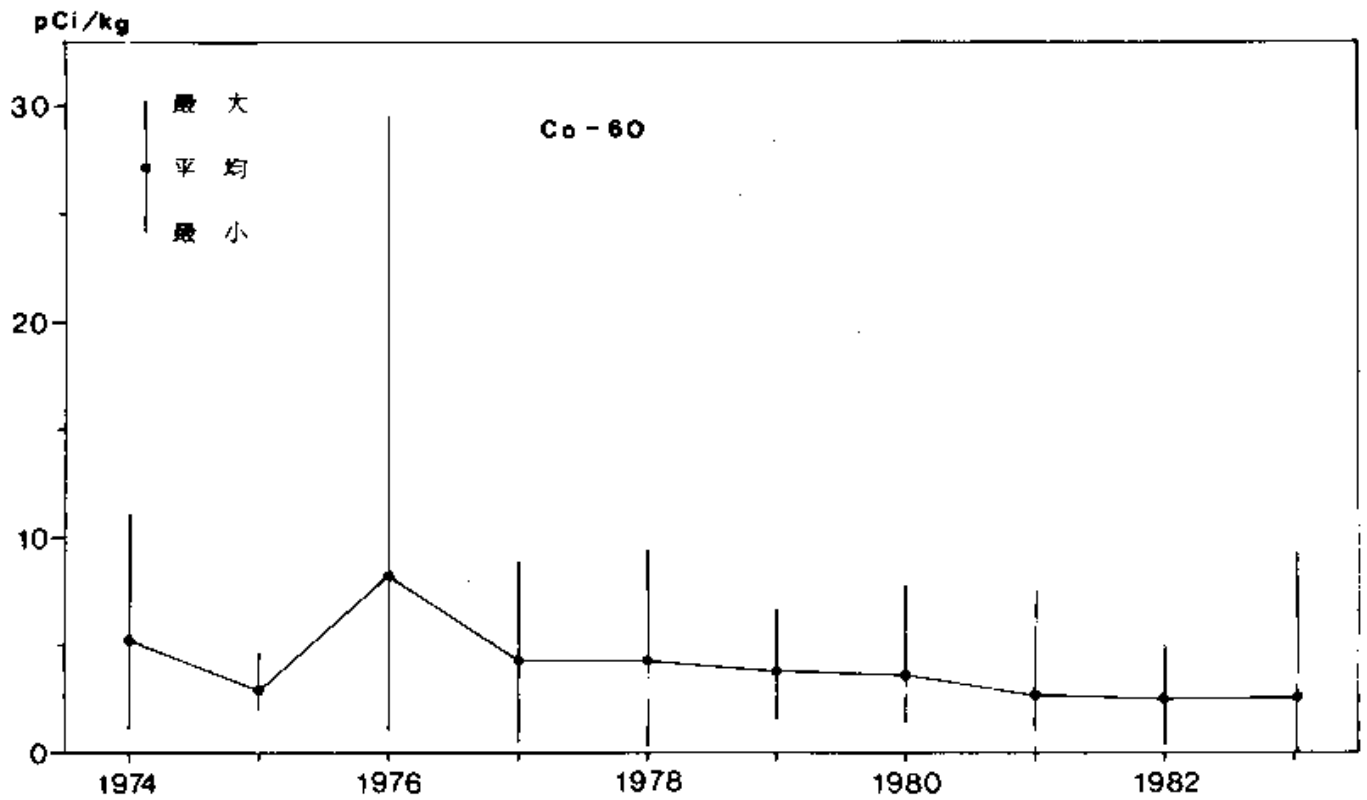


図 8 日本周辺海域海底土中のCo-60の経年変化

Fig. 8 Temporal Variation of Co-60 Concentration in Marine Sediments

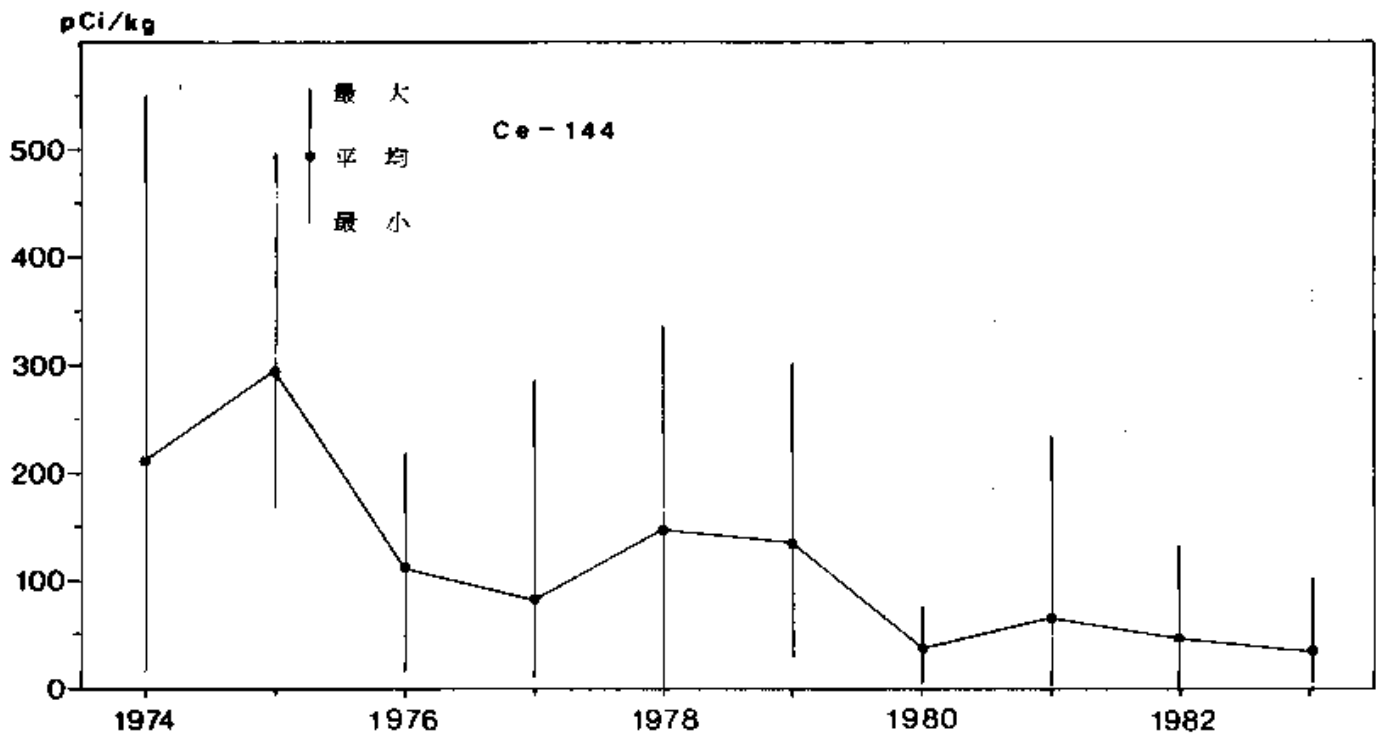


図 9 日本周辺海域海底土中のCe-144の経年変化

Fig. 9 Temporal Variation of Ce-144 Concentration in Marine Sediments

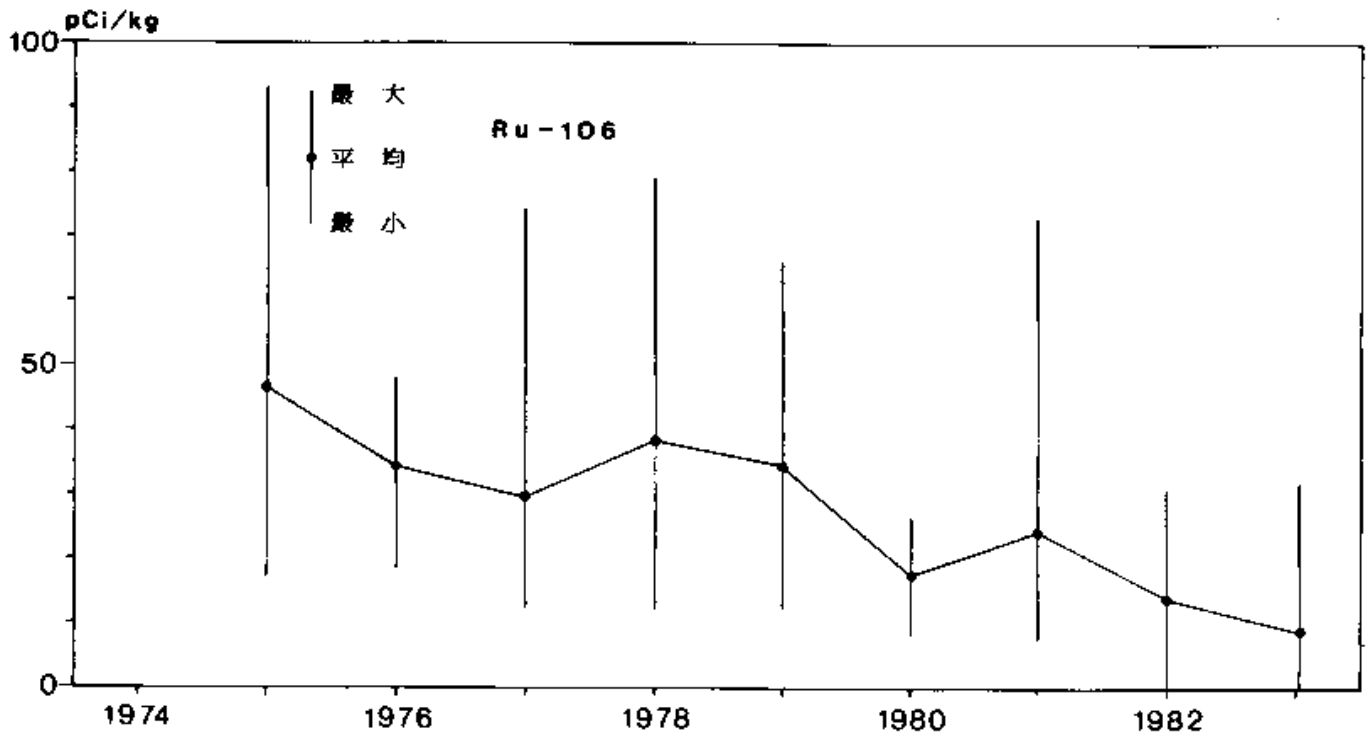


図 10 日本周辺海域海底土中のRu-106の経年変化

Fig. 10 Temporal Variation of Ru-106 Concentration in Marine Sediments

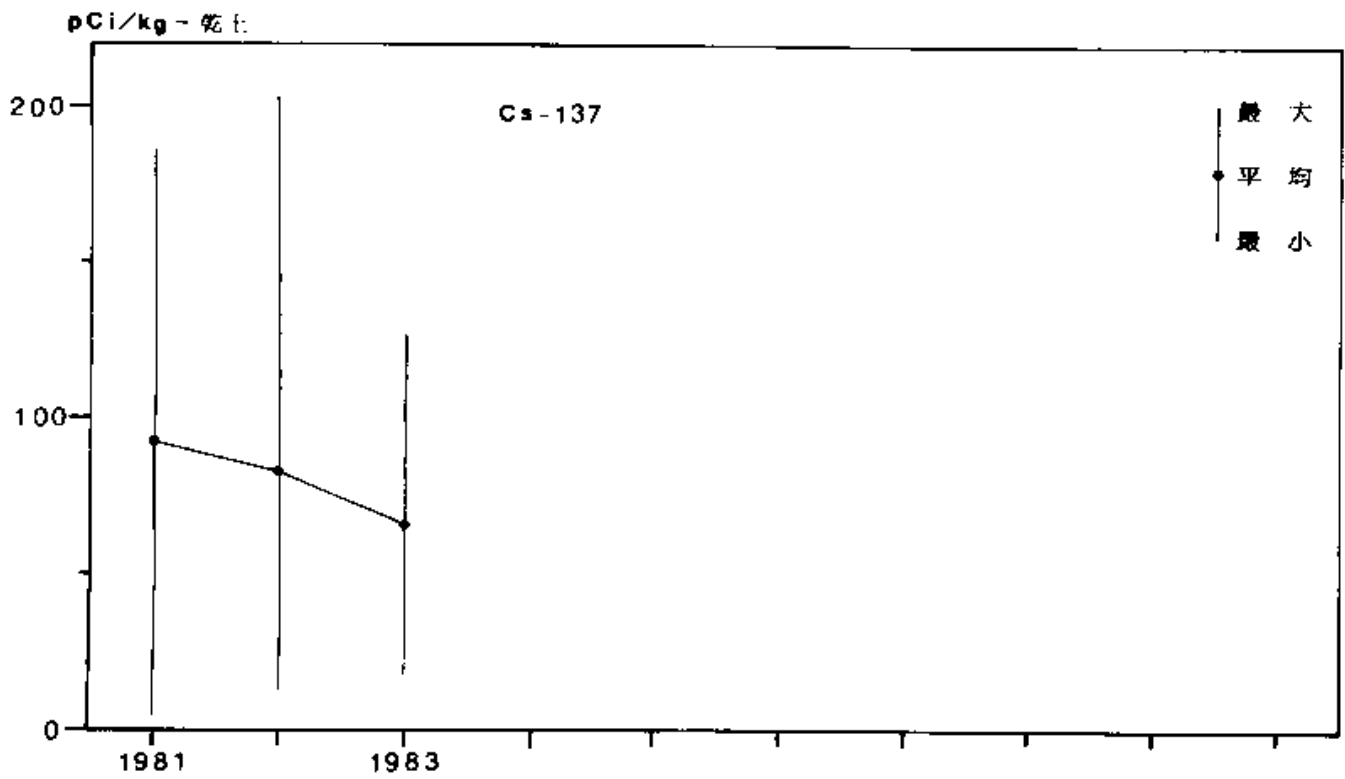


図 11 日本周辺海域海底土中のCs-137の経年変化

Fig. 11 Temporal Variation of Cs-137 Concentration in Marine Sediments

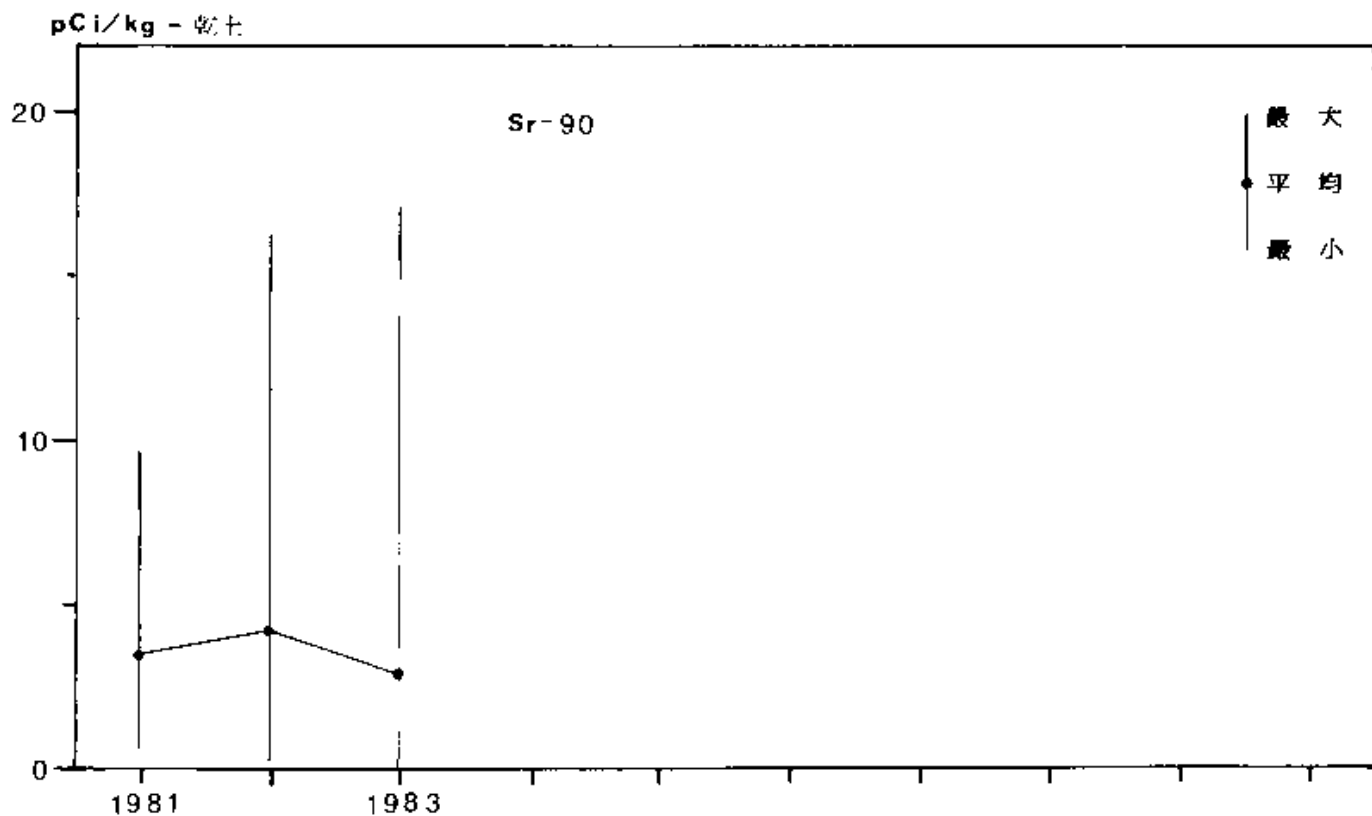


図 12 日本周辺海域海底土中のSr-90の経年変化

Fig. 12 Temporal Variation of Sr-90 Concentration in Marine Sediments

2. 原子力軍艦寄港に伴う放射能調査

2.1 調査の概要

本調査は、米国原子力軍艦の寄港地として指定されている横須賀港、佐世保港及び金武中城港における海水及び海底土の放射能レベルの変動を把握することを目的として年4回定期的に実施している。このため各港に放射能調査点（図12参照）を設けて試料の採取を行い、本庁水路部において、放射化学分析によりこれらの試料の放射能分析を行っている。

分析核種は、海水・海底土ともに、セリウム-144（Ce-144、半減期284日）、コバルト-60（Co-60、半減期5.3年）の2核種である。本報告は、その昭和58年度（1983年度）実施分の調査結果である。

2.2 試料

2.2.1 海水

各港の定点において、表面及び底上2mの海水をいずれも約20ℓ採取し、それぞれただちに塩酸（2ml/ℓ海水）を加え本庁送付後、各港の内港・外港毎に上層と下層に分けて混合試料を作り分析試料とした。各港の内・外港の区分は次のとおりである。（図13参照）

港名	内港	外港
横須賀港	1, 2, 3 測点	4, 5, 6 測点
佐世保港	2, 3, 4, 10, 13 測点	7, 12 測点
金武中城港	1, 7, 8 測点	9, 10, 11 測点

試料採取時期を次に示す。

港名	第1四半期	第2四半期	第3四半期	第4四半期
横須賀港	6.29~7.1	9.7 ~9.9	12.7~12.9	2.29~3.2
佐世保港	6.28~6.30	9.12~9.14	12.6~12.8	3.6 ~3.8
金武中城港	7.7 ~7.9	9.6 ~9.8	12.1~12.3	3.6 ~3.8

2.2.2 海底土

採水と同時期に同じ定点でスミス・マッキンタイヤ型採泥器を用いて採泥し、船上でその表面から約2 cm(厚さ)を採取する。採取した海底土は、本庁で乾燥(約80℃)、粉碎後、孔径2 mmの篩を通し、分布試料とした。

2.3 分析法

海水試料は、水酸化マグネシウムと共沈させた沈殿を1.75N塩酸に溶解し、陽イオン交換樹脂に通す。流出液と洗液はCo-60の分析に用い、陽イオン交換樹脂からはセリウムを4N硫酸で溶解して分析用とした。

海底土試料についてはCo-60及びCe-144の分析に、それぞれ乾土100g及び50gを用いた。

以降の分析法は、いずれも1.3に掲げた方法と同じであり、放射能測定装置については1.4に掲げた測定装置と同じである。

2.4 結果

昭和58年度(1983年度)に採取した試料の測定結果をCe-144については表3、Co-60については表4に示す。計数値には計数誤差を付記してある。なお、放射能濃度には、短半減期の同位体を含むことがある。

2.4.1 海水

Co-60は従来と同様非常に低いレベルで計数誤差の3倍を越えるものはなかった。

Ce-144の各港の四半期毎の平均値は次の通りであった。

港名	第1四半期	第2四半期	第3四半期	第4四半期
横須賀港	0.032	0.001	0.001	0.000
佐世保港	0.001	0.001	0.003	0.001
金武中城港	0.002	0.000	0.004	0.000

単位：pCi/l

図14, 16, 18には港別に各試料(混合試料)ごとに昭和50年(1975年)以降のCe-144濃度の経年変化を示す。これらの図表が示すように本年度は前年度と同様、ほとんど検出限界に近い非常に低いレベルである。

2.4.2 海底土

Ce-144 の各港の四半期ごとの平均値は次のとおりであった。

港名	第1四半期	第2四半期	第3四半期	第4四半期
横須賀港	31	54	30	21
佐世保港	21	23	20	12
金武中城港	26	24	21	17

単位：pCi/Kg-乾土

図15, 17, 19にはそれぞれの港について、各測点ごとに昭和50年(1975年)以降のCe-144濃度の経年変化を示す。これらの図が示すように昭和56年度後半からの減少傾向が本年度も続いている。

図20~22にそれぞれの港について各測点ごとに昭和50年(1975年)以降のCo-60の経年変化を示す。これらの図表が示すように、測点毎に濃度の高低はあるもののいずれも10pCi/Kg-乾土以下の低いレベルで計数誤差の3倍を越えるものはなかった。

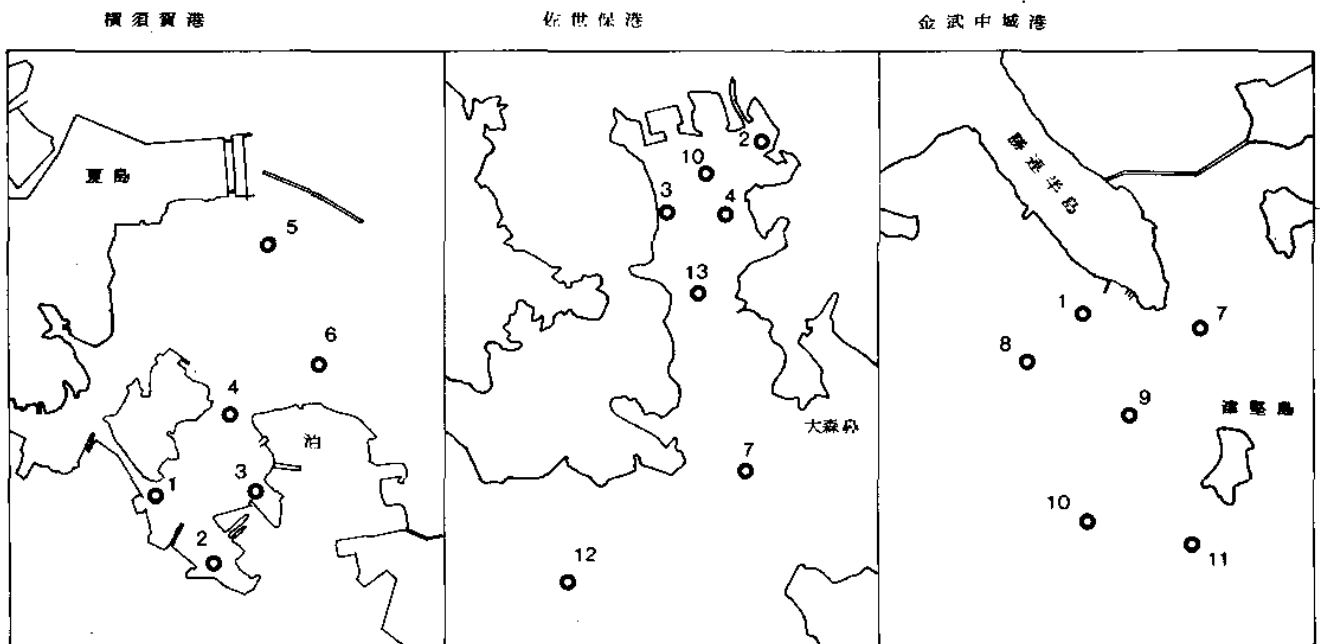


図 13 横須賀港、佐世保港および金武中城港の放射能調査試料採取点および測点番号

Fig. 13 Sampling Stations for Radioactivity Survey and Station Numbers at YOKOSUKA KO, SASEBO KO and KIN-NAKAGUSUKU KO

表 3 原子力軍艦寄港地の海水および海底土中のCe-144測定結果
(昭和58年)

Table 3 Ce-144 in Sea Water and Marine Sediments in Fiscal 1983

		第 1 回	第 2 回	第 3 回	第 4 回	
		6 月	9 月	12 月	3 月	
横須賀港	海水	内—上	-0.004 ± 0.003	-0.001 ± 0.003	0.004 ± 0.003	0.002 ± 0.003
		下	0.004 ± 0.004	0.002 ± 0.003	0.002 ± 0.003	0.002 ± 0.003
	外—上	-0.001 ± 0.005	-0.001 ± 0.003	0.001 ± 0.003	-0.004 ± 0.003	
		下	0.014 ± 0.008	0.002 ± 0.003	-0.003 ± 0.004	0.000 ± 0.004
海底土	1.	17 ± 4	42 ± 5	14 ± 4	9.1 ± 3.3	
	2	37 ± 4	101 ± 6	58 ± 5	23 ± 4	
	3	24 ± 4	32 ± 5	26 ± 5	26 ± 4	
	4	46 ± 5	59 ± 5	30 ± 4	27 ± 4	
	5	24 ± 4	59 ± 5	18 ± 4	25 ± 4	
	6	37 ± 4	33 ± 4	36 ± 4	17 ± 4	
佐世保港	海水	内—上	0.000 ± 0.002	0.002 ± 0.002	0.003 ± 0.002	0.006 ± 0.002
		下	0.002 ± 0.001	0.000 ± 0.002	0.003 ± 0.002	-0.001 ± 0.002
	外—上	0.000 ± 0.004	0.000 ± 0.005	0.005 ± 0.005	0.000 ± 0.005	
		下	0.002 ± 0.004	0.001 ± 0.004	0.001 ± 0.004	0.000 ± 0.004
海底土	2	11 ± 3	12 ± 3	7.3 ± 3.7	13 ± 3	
	3	34 ± 4	29 ± 5	8.0 ± 3.6	6.1 ± 3.9	
	4	15 ± 3	15 ± 4	12 ± 4	7.2 ± 3.3	
	7	15 ± 4	45 ± 5	28 ± 4	20 ± 4	
	10	18 ± 4	13 ± 4	32 ± 4	9.6 ± 3.4	
	12	28 ± 4	31 ± 5	14 ± 4	14 ± 4	
	13	29 ± 4	18 ± 4	38 ± 5	14 ± 4	
金武中城港	海水	内—上	0.002 ± 0.003	-0.004 ± 0.003	0.006 ± 0.003	-0.002 ± 0.002
		下	0.002 ± 0.003	0.000 ± 0.003	0.000 ± 0.003	-0.001 ± 0.003
	外—上	0.005 ± 0.003	-0.002 ± 0.003	0.006 ± 0.003	0.001 ± 0.003	
		下	0.000 ± 0.003	-0.003 ± 0.003	0.005 ± 0.003	0.000 ± 0.003
海底土	1	23 ± 4	19 ± 4	14 ± 4	15 ± 4	
	7	18 ± 3	27 ± 4	4.7 ± 3.7	6.8 ± 3.3	
	8	16 ± 3	9.7 ± 3.7	19 ± 4	13 ± 4	
	9	21 ± 4	25 ± 4	32 ± 4	31 ± 4	
	10	28 ± 4	24 ± 4	23 ± 4	16 ± 4	
	11	48 ± 5	42 ± 5	33 ± 4	23 ± 4	

海水 pCi/L

海底土 pCi/Kg-乾土

表 4 原子力軍艦寄港地の海水および海底土中のCo-60測定結果
(昭和58年度)

Table 4 Co-60 in Sea Water and Marine Sediments in Fiscal 1983

		第 1 回	第 2 回	第 3 回	第 4 回
		6 月	9 月	12 月	3 月
横須賀港					
海 水	内—上	-0.003 ± 0.003	0.002 ± 0.003	0.002 ± 0.003	-0.001 ± 0.002
		0.000 ± 0.003	0.002 ± 0.003	0.000 ± 0.003	-0.001 ± 0.002
	外—上	-0.004 ± 0.003	0.002 ± 0.003	0.000 ± 0.003	-0.002 ± 0.002
		-0.002 ± 0.003	-0.002 ± 0.003	0.000 ± 0.003	0.000 ± 0.002
海底土	1	0.0 ± 1.7	1.5 ± 1.6	0.9 ± 1.6	0.9 ± 1.5
	2	-0.4 ± 1.6	1.1 ± 1.6	1.5 ± 1.7	3.1 ± 1.7
	3	0.7 ± 1.7	1.3 ± 1.6	-0.2 ± 1.5	-0.9 ± 1.4
	4	5.0 ± 2.0	4.8 ± 1.8	2.2 ± 1.7	1.1 ± 1.5
	5	1.5 ± 1.8	2.0 ± 1.6	3.1 ± 1.8	4.9 ± 1.8
	6	5.3 ± 2.0	4.0 ± 1.8	5.3 ± 1.9	0.0 ± 1.5
佐世保港					
海 水	内—上	0.001 ± 0.002	0.000 ± 0.001	0.000 ± 0.002	0.000 ± 0.001
		0.001 ± 0.002	0.002 ± 0.002	0.000 ± 0.002	0.001 ± 0.002
	外—上	0.007 ± 0.005	-0.001 ± 0.004	0.000 ± 0.004	0.000 ± 0.004
		-0.007 ± 0.004	0.004 ± 0.005	0.001 ± 0.004	-0.001 ± 0.003
海底土	2	0.2 ± 1.7	-0.4 ± 1.5	0.9 ± 1.6	1.8 ± 1.6
	3	1.7 ± 1.8	2.2 ± 1.7	2.7 ± 1.8	2.0 ± 1.6
	4	0.7 ± 1.7	2.4 ± 1.7	3.8 ± 1.8	1.5 ± 1.6
	7	5.9 ± 2.0	5.1 ± 1.8	4.6 ± 1.9	5.1 ± 1.8
	10	1.1 ± 1.7	2.7 ± 1.7	1.8 ± 1.7	4.8 ± 1.8
	12	0.4 ± 1.7	2.7 ± 1.7	5.1 ± 1.9	1.3 ± 1.6
	13	1.3 ± 1.8	0.7 ± 1.6	1.8 ± 1.7	3.7 ± 1.7
金武中城港					
海 水	内—上	-0.002 ± 0.003	0.001 ± 0.003	-0.002 ± 0.003	-0.001 ± 0.003
		-0.004 ± 0.003	0.002 ± 0.003	0.000 ± 0.003	0.001 ± 0.003
	外—上	-0.002 ± 0.003	0.003 ± 0.003	-0.001 ± 0.002	-0.003 ± 0.002
		0.000 ± 0.003	0.003 ± 0.003	0.000 ± 0.002	-0.001 ± 0.002
海底土	1	-0.7 ± 1.6	0.4 ± 1.5	-1.3 ± 1.5	0.7 ± 1.5
	7	0.0 ± 1.7	0.7 ± 1.5	0.9 ± 1.6	-0.4 ± 1.4
	8	-1.6 ± 1.6	0.2 ± 1.5	0.2 ± 1.6	1.1 ± 1.5
	9	-0.4 ± 1.6	0.9 ± 1.6	-0.4 ± 1.5	0.2 ± 1.5
	10	-2.0 ± 1.5	0.9 ± 1.5	0.0 ± 1.6	0.2 ± 1.5
	11	4.6 ± 1.9	0.4 ± 1.5	0.2 ± 1.6	0.4 ± 1.5

海 水 pCi/L

海底土 pCi/Kg- 乾土

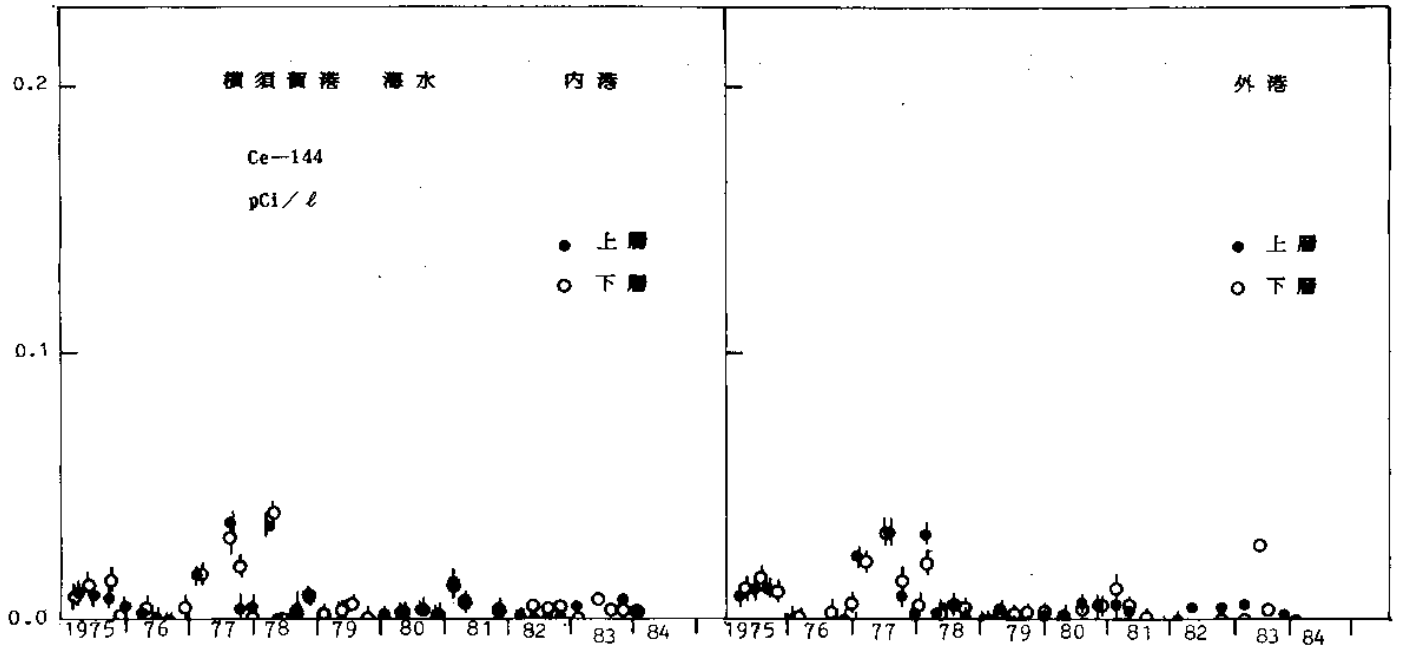


図 14 横須賀港海水中的Ce-144の経年変化

Fig. 14 Temporal Variation of Ce-144 Concentration in Sea Water at YOKOSUKA KO

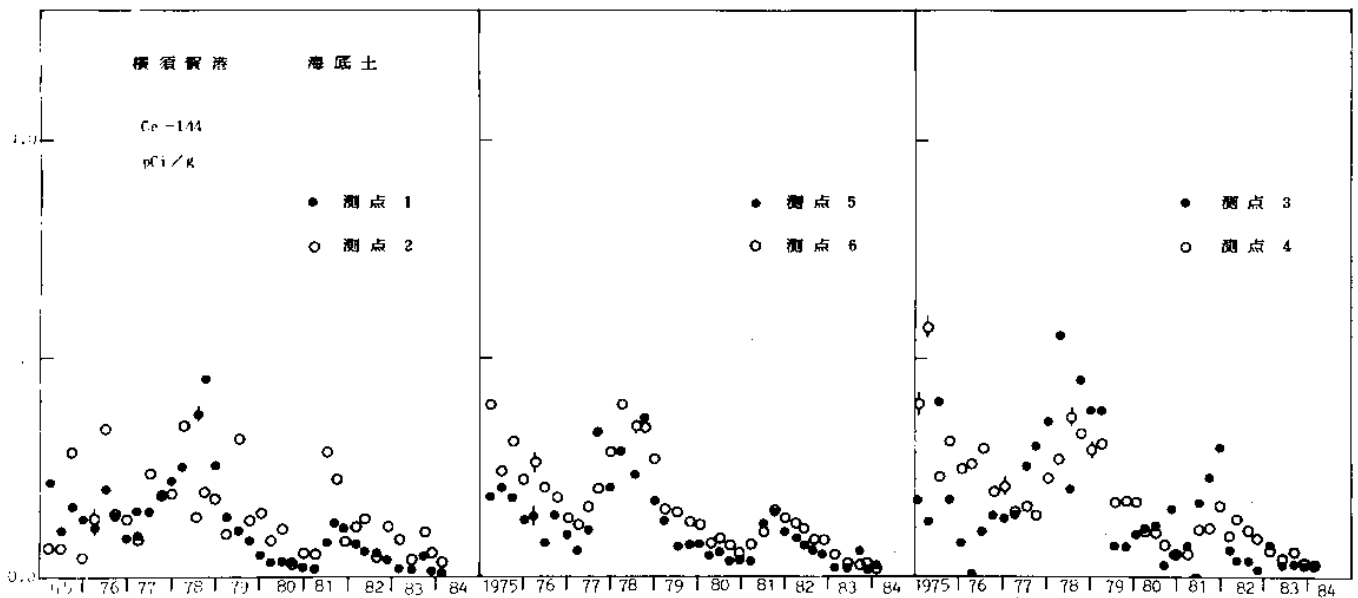


図 15 横須賀港海底土中のCe-144の経年変化

Fig. 15 Temporal Variation of Ce-144 Concentration in Marine Sediments at YOKOSUKA KO

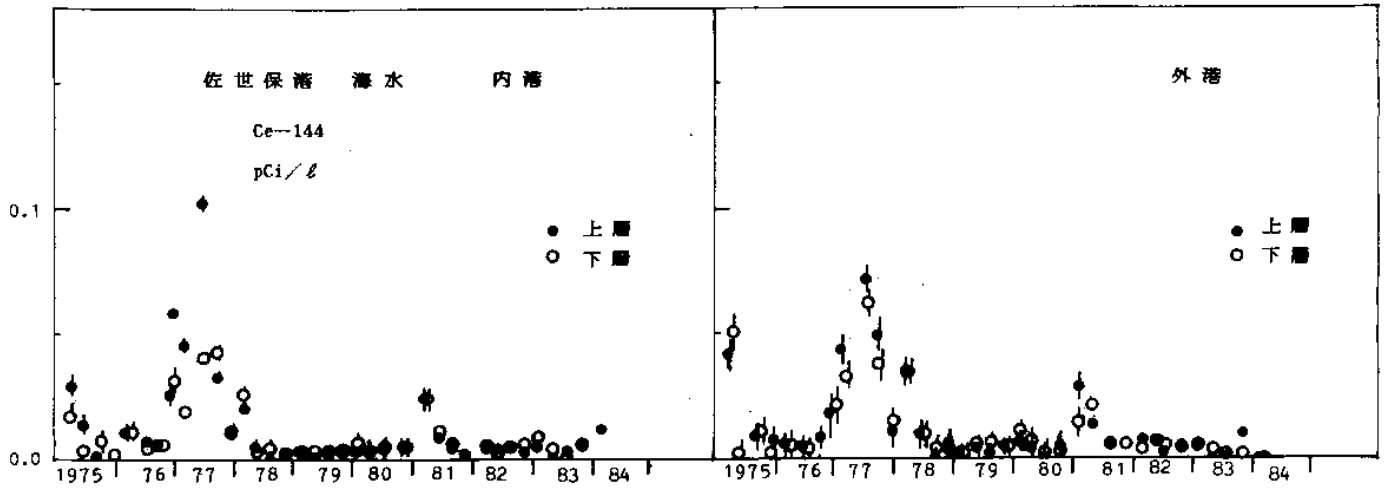


図 16 佐世保港海水中的Ce-144の経年変化

Fig. 16 Temporal Variation of Ce-144 Concentration in Sea Water at SASEBO KO

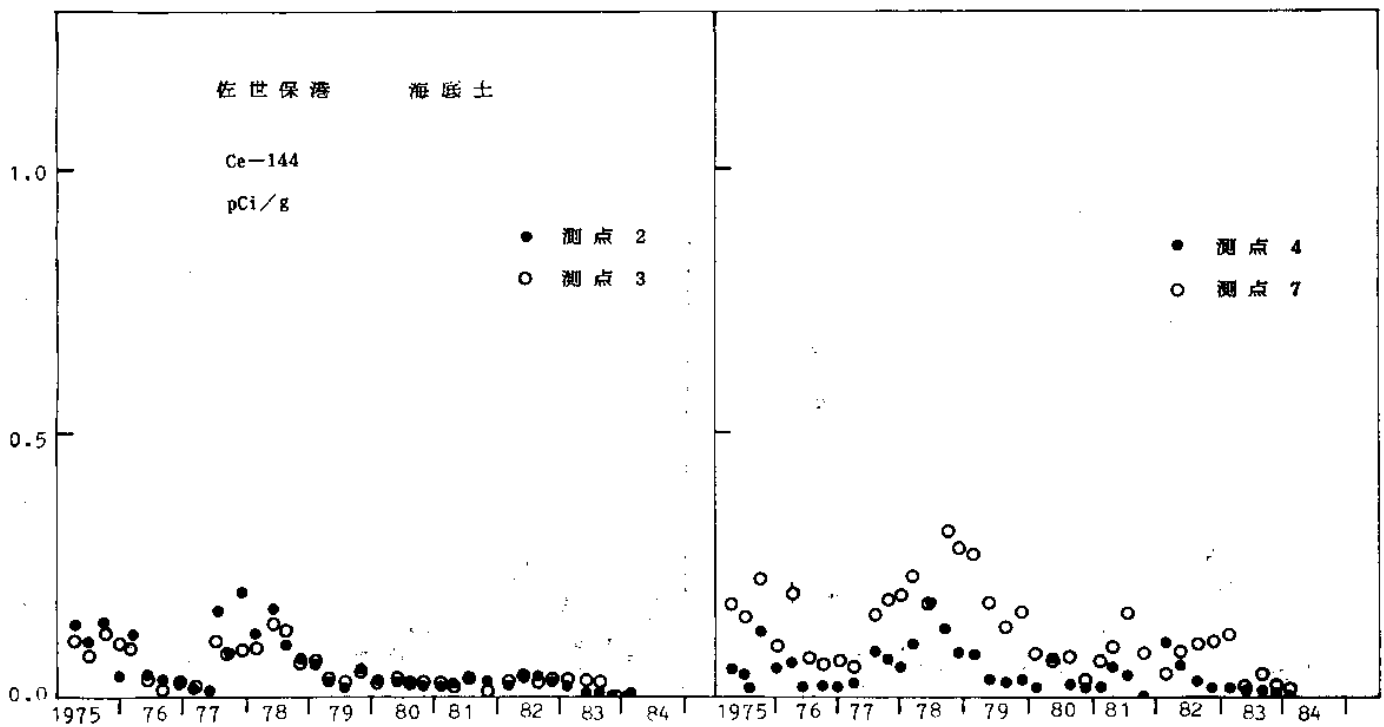


図 17-1 佐世保港海底土中のCe-144の経年変化

Fig. 17-1 Temporal Variation of Ce-144 Concentration in Marine Sediments at SASEBO KO

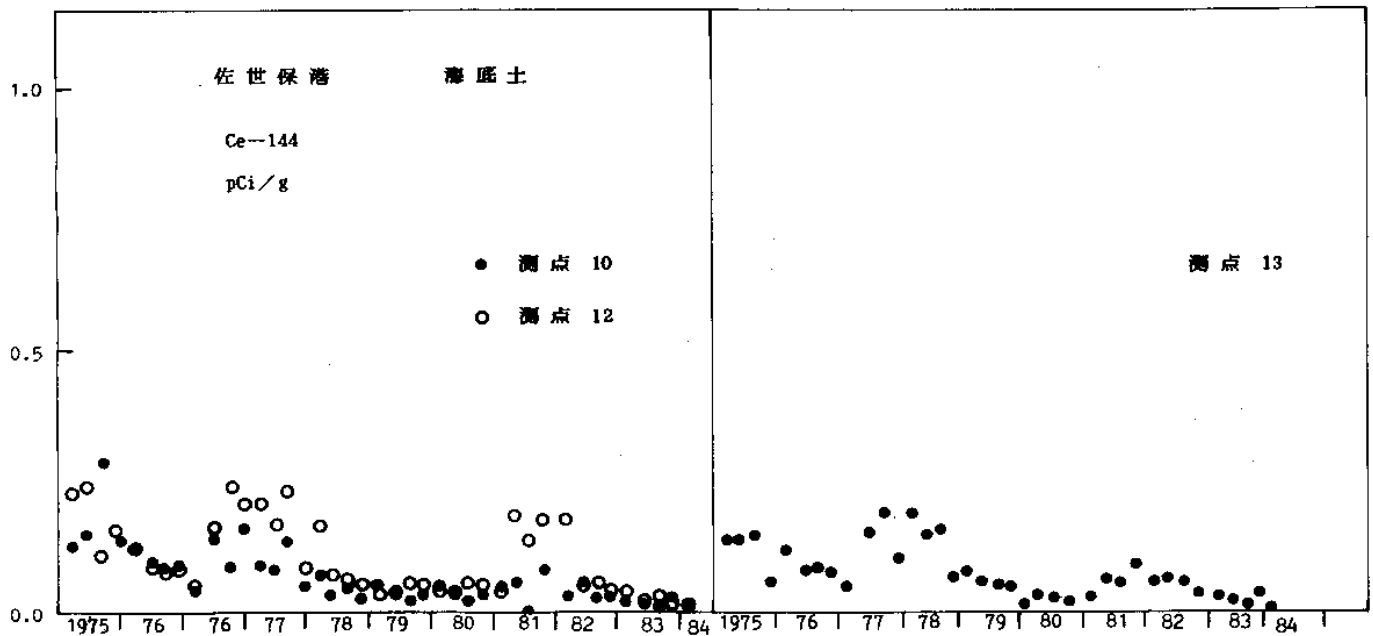


図 17-2 佐世保港海底土中のCe-144の経年変化

Fig. 17-2 Temporal Variation of Ce-144 Concentration in Marine Sediments at SASEBO KO

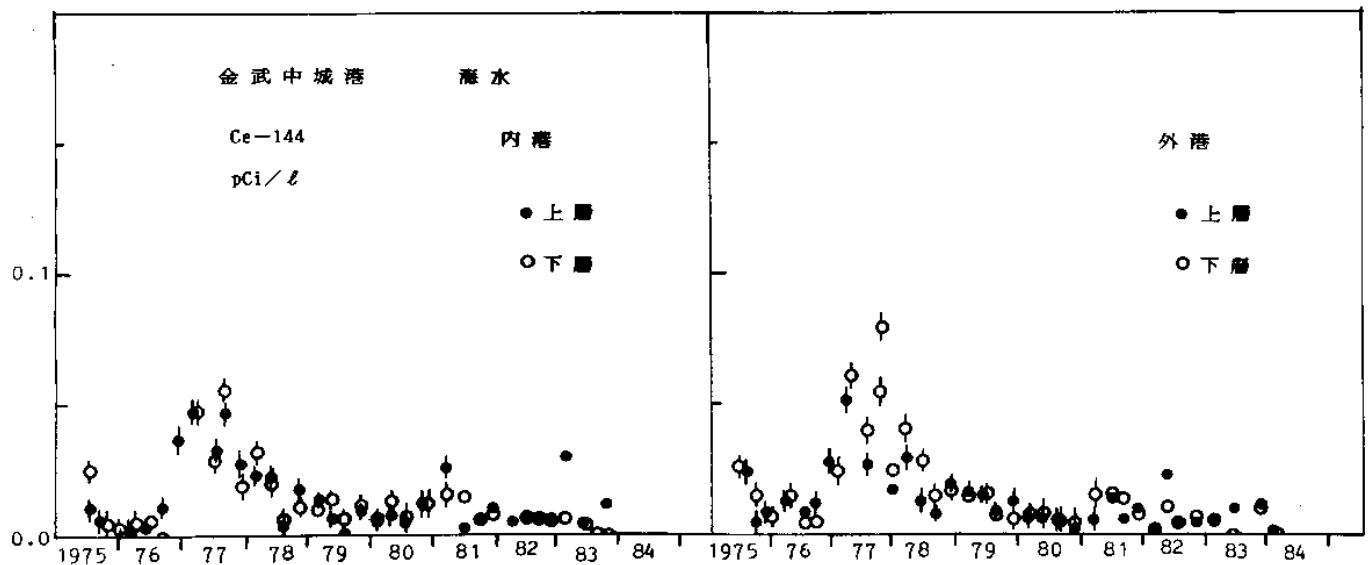


図 18 金武中城港海水中的Ce-144の経年変化

Fig. 18 Temporal Variation of Ce-144 Concentration in Sea Water at KIN-NAKAGUSUKU KO

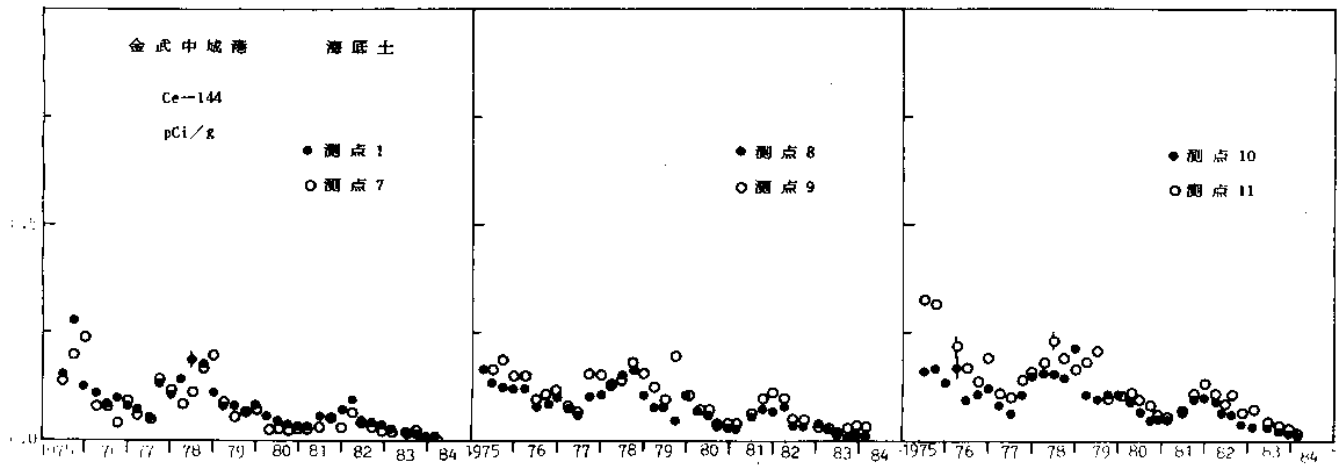


図 19 金武中城港海底土中のCe-144の経年変化

Fig. 19 Temporal Variation of Ce-144 Concentration in Marine Sediments at KIN-NAKAGUSUKU KO

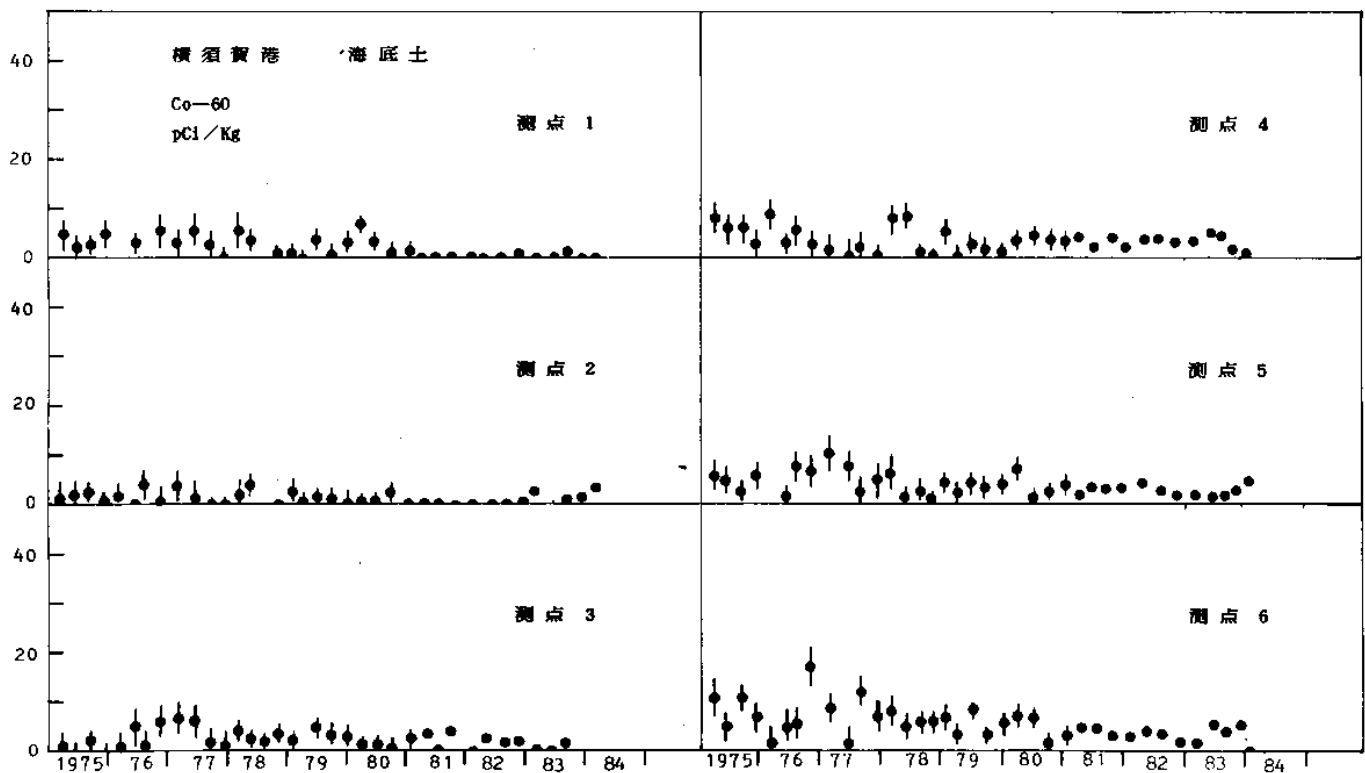


図 20 横須賀港海底土中のCo-60の経年変化

Fig. 20 Temporal Variation of Co-60 Concentration in Marine Sediments at YOKOSUKA KO

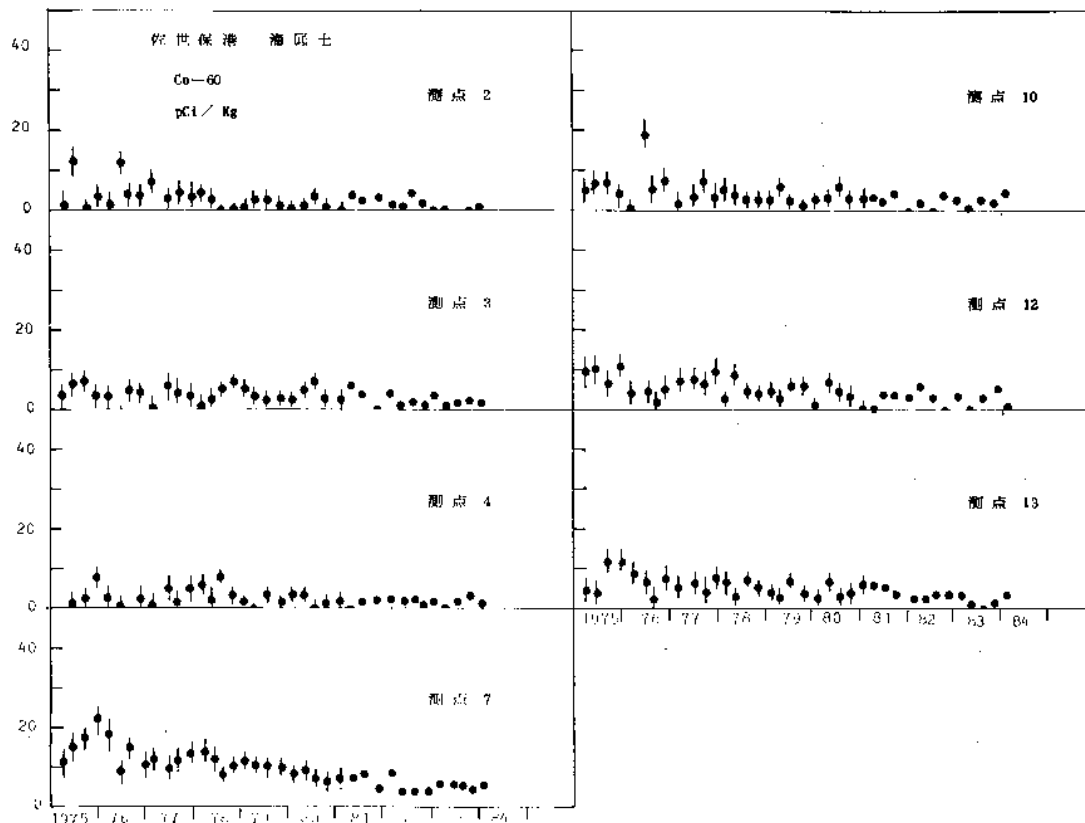


図 21 佐世保港海底土中のCo-60の経年変化

Fig. 21 Temporal Variation of Co-60 Concentration in Marine Sediments at SASEBO KO

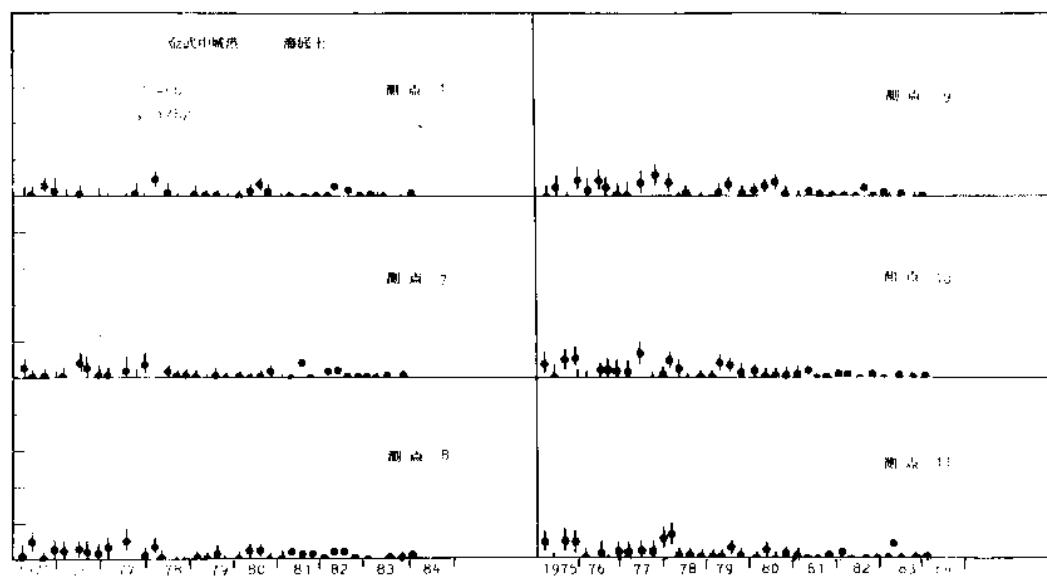


図 22 金武中城港海底土中のCo-60の経年変化

Fig. 22 Temporal Variation of Co-60 Concentration in Marine Sediments at KIN-NAKAGUSUKU KO

3. 核燃料再処理施設周辺海域の放射能調査

3.1 調査の概要

使用済み核燃料再処理施設（以下「再処理施設」という。）の稼動に伴い、海洋中に放出される低レベルの放射性廃液が周辺海域の環境放射能に及ぼす影響を把握するとともに、同海域における被曝線量の評価に資することを目的として、昭和49年度（1974年度）から本調査を開始した。この報告は、昭和58年（1983年）に実施した調査結果をまとめたものである。

調査の内容は、再処理施設周辺海域（以下「常磐沖」と略称。）における海水及び海底土の採取と、これらの試料の放射能測定を行うものである。調査点は図23-1、図23-2に示すとおりであり、これらの調査点及び番号は一部を除き毎年同一のものである。

試料の採取は、第1回は3月8日～3月19日に、第2回は9月21日～9月29日に実施した。

又、測定項目と試料数は、次のとおりである。ただし、 γ 線分光分析と放射化学分析の試料数には重複がある。

γ 線分光分析		放射化学分析					
海水	海底土	海水				海底土	
		Sr-90	Ce-144	Ru-106	Cs-137	Ce-144	Ru-106
112	83	31	32	32	31	29	29

3.2 試料

採水及び採泥は、それぞれ下記の要領で行い、海水は採取後直ちに塩酸（2 ml / l 海水）を加え、又、海底土は乾燥（約80℃）、粉碎し孔径2mmの篩を通過したものを分析試料とした。

海水	採取機器	表層水…揚水ポンプ
		中底層水…プラスチック製大型採水器又は揚水ポンプ
	採取量	20 l ~ 40 l
海底土	採取機器	スミス・マッキンタイヤ型採泥器又はカンナ型採泥器 (採取厚さ2 cm)
		採取量

3.3 放射能測定

3.3.1 γ 線分光分析

3.3.1.1 試料の処理

海水(約20ℓ)は、リンモリブデン酸アンモニウム吸着法及び二酸化マンガン吸着法により濃縮し、径47mm、孔径0.45 μ mのメンブレンフィルター上に捕集し、プラスチック容器に入れて計測試料とした。この場合、化学収率の補正は行っていない。

海底土は、プラスチック製逆ウエル型容器(径13.5cm、高さ10.5cm、容量1,200 cm^3)に入れて計測試料とした。なお、採取した試料が少ない場合には、プラスチック製円筒型容器(径6.6cm、高さ3.5cm、容量120 cm^3)に入れ、一定容積として計測試料とした。

3.3.1.2 放射能測定装置

検出器にはORTEC社製2523型Ge(Li)半導体検出器(有効体積126.5cc)を使用した。冷却容器と検出器のしゃへいには、それぞれ5cm厚及び10cm厚の鉛を用いた。

波高分析にはCANBERRA社製8605型マルチチャンネルアナライザーを使用し、チャンネル幅は0.5keV/chとし、計測エネルギー範囲は50keV~2,000keV、又計測時間は80,000秒である。

3.3.1.3 ピーク計数効率の算定法

相対ピーク効率は、Eu-152、Ba-133の点線源を用いて求め絶対ピーク効率はCs-137、KClの容積線源を用いて決定した。なお試料による γ 線の自己吸収の補正は行っていない。

3.3.1.4 測定目標核種

測定目標核種は、再処理施設の操業時に比較的放出が多いと考えられているRu-106、Ce-144、Zr-95(Nb-95)、Cs-137と誘導放射性核種のCo-60、Mn-54としたが、その他の人工放射性核種にも注意を払った。なお、核種の同定及び定量には、CANBERRA社製 γ 線分光分析用ソフトウェアSPECTRAN-F(Version 2)を用いた。

3.3.2 放射化学分析

分析法等は1.3(「日本近海における海水及び海底土の放射能調査」の分析法)及び1.4(「同」放射能測定装置)に同じである。

3.4 粒度分析

採取した海底土試料を無処理の状態です一定量取り、蒸留水を用いる「洗いフルイ分け法」により各粒径フラクションに分画し、それらの乾燥重量から粒径加積曲線図を描き、この図から中央粒径及び各フラクションの質量百分率を求めた。

3.5 結果

昭和58年(1983年)に行った放射能調査の結果を、海水については表5に、海底土については粒度分析の結果とともに表6に示した。表5及び表6の放射能濃度は、 γ 線分光分析法で得た値と放射化学分析で得た値とを区別するために、後者の値には()を付してある。 γ 線分光分析による結果は、検出された核種の濃度を有効数字2桁以下で計数誤差とともに表示し、又検出されなかった核種については*印で表示した。なお、計数誤差は放射能濃度の最終桁にそろえてある。放射化学分析法による結果は、有効数字2桁以下で計数誤差とともに表示した。ただし、放射化学分析で得た値には短半減期の同位体を含むことがある。

3.5.1 海水

1983年の調査結果によると、常磐沖海水中のCs-137及びSr-90はそれぞれ0.03~0.29 pCi/l及び0.04~0.28 pCi/lの範囲にあり、同時期の日本周辺海域のレベルと同様であり特に異常と思われる値は見られない。Ru-106及びCe-144はいずれも0.05 pCi/l以下の非常に低いレベルであり、又 γ 線分光分析でも全く検出されておらず、Cs-137及びSr-90と同様異常と思われる値は見られなかった。

3.5.2 海底土

Cs-137は検出限界以下~130 pCi/kg-乾土と、日本周辺海域と同レベルであり特に異常とする値は見られない。Ce-144は第1回及び第2回が乾土1kgあたりそれぞれ検出限界以下~100 pCi, 検出限界以下~65 pCi, 又Ru-106はそれぞれ検出限界以下~39 pCi, 検出限界以下~36 pCiと、日本周辺海域と同様のレベルであり特に異常とする値は見られず1981年の後半からの減少傾向が本年も続いている。

常磐沖における濃度分布は、Cs-137については、従来から、一般に水深が深まるにつれてレベルは上昇し、又、粒度分布との関連では、中央粒径の小さい海底土がレベルが高いという傾向が見られており、今回の結果も同様の傾向を示している。Ce-144及びRu-106はこの傾向とは必ずしも一致しない。

茨城県東海区環境放射線監視委員会編「環境放射線季報」第44～47報によると昭和58年(1983年)における再処理施設からの放射性物質の海洋への放出量の概略は次表のとおりである。

放射性物質	1～3月	4～6月	7～9月	10～12月	計
Sr	*		*	1.1×10^2	1.1×10^3
Cs	1.40×10^3	9.6×10	2.58×10^2	1.80×10^2	1.93×10^3
Ce	*	*	*	*	*
Ru	*	*	*	*	*
Zr - Nb	*	*	*	*	*

* 検出限界以下

単位： μCi

この表から、Sr (Sr-89 + Sr-90)、Cs (Cs-134 + Cs-137) の放出量が他の核種より多いことが伺われるが、これまでの調査ではいずれの核種の放射能濃度も日本近海の海水・海底土と同様のレベルにあり、これらの放射性物質の海洋への放出の影響は見られない。

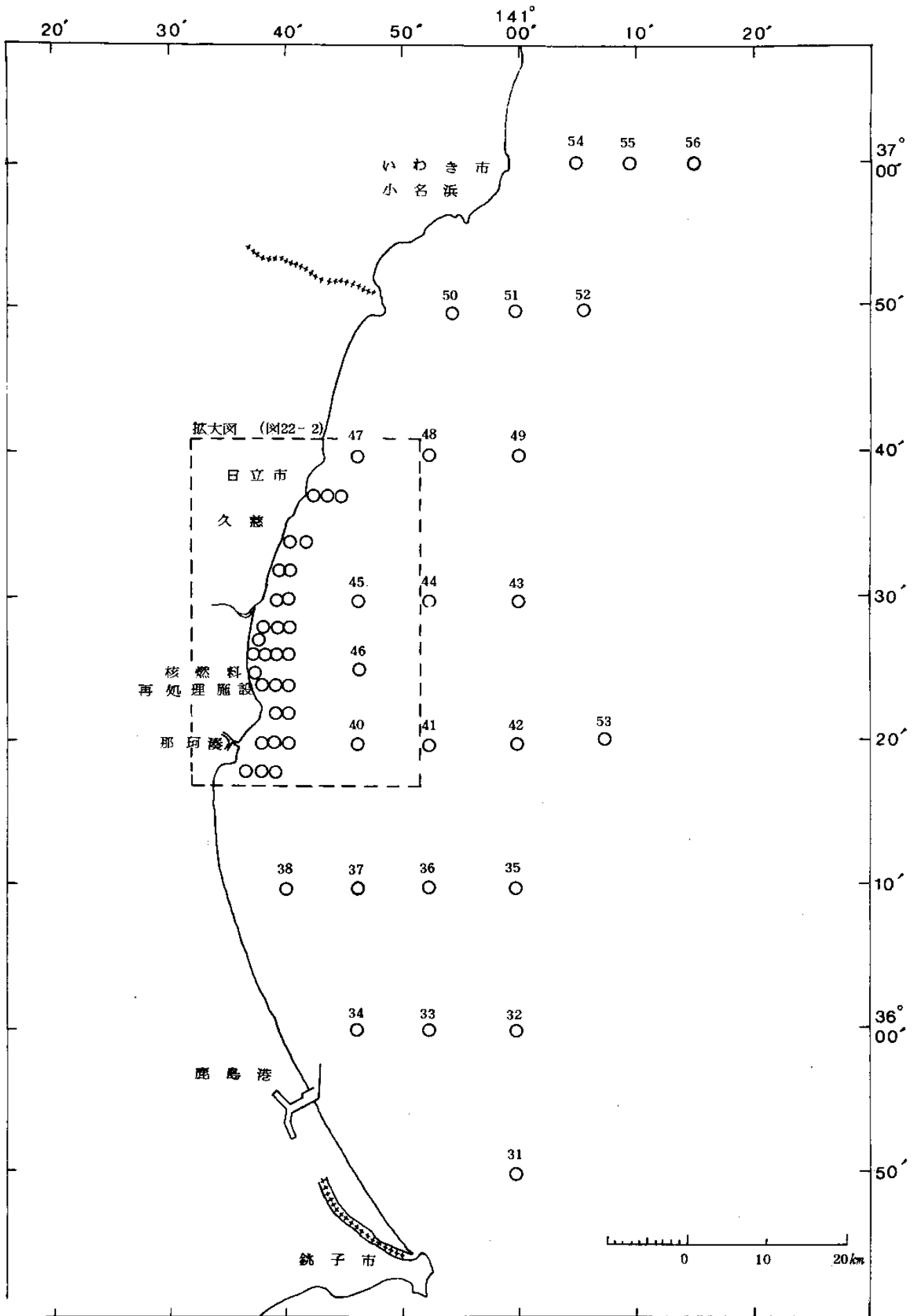


図 23-1 常磐沖放射能調査試料採取点および測点番号

Fig. 23-1 Sampling Points for Radioactivity Survey and Point Numbers at the Coast of JOBAN

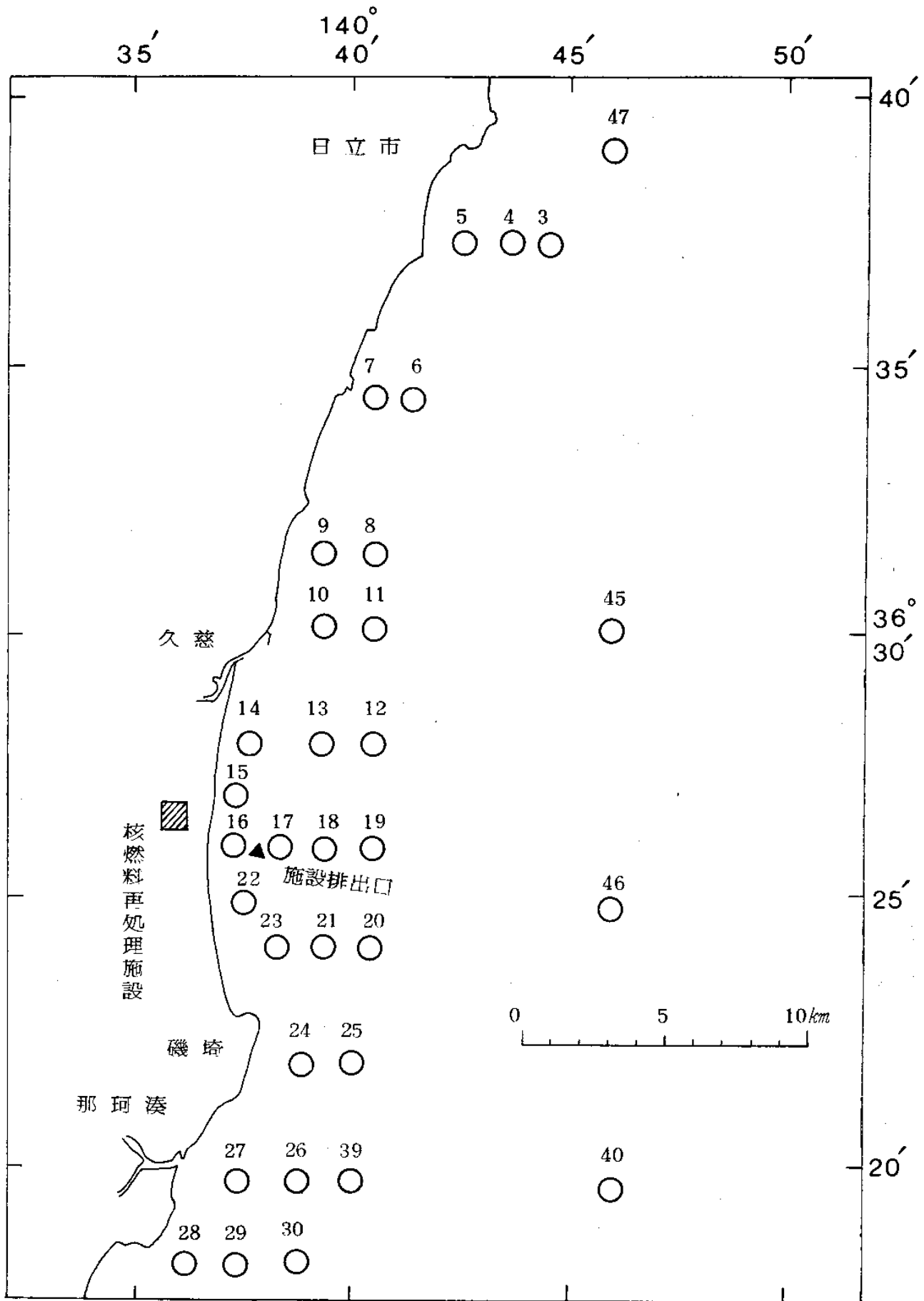


図 23-2 常磐沖放射能調査試料採取点および測点番号

Fig. 23-2 Sampling Points for Radioactivity Survey and Point Numbers at the Coast of JOBAN

表 5 常磐沖放射能調査結果—海水 (昭和58年)

Table 5 Radioactivity Survey Data of Sea Water at the Coast of JOBAN in 1983

測点 番号	採取位置		採取年月日	水深 m	採取深度 m	水温 °C	塩分	放射能濃度			
	緯度 (°N)	経度 (°E)						^{137}Cs	^{144}Ce	^{106}Ru	^{90}Sr
3	36-37.0	140-44.5	1983. 3.12	41	0	8.4	33.801	0.06±0.06	*	*	
4	36-37.0	140-43.5	1983. 3.12	27	0	8.8	33.640	0.06±0.05	*	*	
5	36-37.0	140-42.5	1983. 3.12	18	0	9.3	33.689	0.11±0.06	*	*	
6	36-34.7	140-41.8	1983. 3.12	24	0	8.8	33.755	0.15±0.05	*	*	
7	36-34.5	140-40.5	1983. 3.12	15	0	8.8	33.626	0.13±0.06	*	*	
8	36-31.5	140-40.1	1983. 3.12	22	0	9.1	33.561	0.10±0.05	*	*	
9	36-31.6	140-39.0	1983. 3.12	15	0	9.2	33.630	0.13±0.05	*	*	
10	36-30.0	140-39.0	1983. 3.10	22	0	7.8	33.749	0.06±0.06	*	*	
11	36-29.8	140-40.7	1983. 3.10	28	0	8.0	33.841	0.10±0.06	*	*	
12	36-28.2	140-40.5	1983. 3.10	34	0	8.0	33.822	0.23±0.08 (0.08±0.04)	*	*	(0.04±0.02)
					32	8.0	33.913	0.09±0.06	*	*	
13	36-27.9	140-38.8	1983. 3.11	23	0	7.9	33.839	0.12±0.06 (0.08±0.04)	*	*	(0.07±0.02)
					21	8.0	33.872	0.11±0.06	*	*	
14	36-27.9	140-37.8	1983. 3.12	11	0	8.6	27.989	0.16±0.06 (0.00±0.04)	*	*	(0.06±0.02)
					9	7.8	33.746	0.15±0.06	*	*	
15	36-27.0	140-37.4	1983. 3.12	15	0	8.1	33.774	0.17±0.06 (0.09±0.02)	*	*	(0.06±0.02)
					12	7.9	33.793	0.12±0.06	*	*	
16	36-26.0	140-37.3	1983. 3.12	15	0	8.4	33.315	0.16±0.06 (0.07±0.03)	*	*	(0.07±0.02)
					13	8.1	33.787	0.12±0.03	*	*	
17	36-25.9	140-38.6	1983. 3.11	25	0	8.1	33.703	0.27±0.06 (0.13±0.03)	*	*	(0.05±0.02)
					23	8.0	33.878	0.19±0.05	*	*	

表 5 (続)

Table 5 (continued)

測点 番号	採取位置		採取年月日	水深 m	採取深度 m	水温 ℃	塩分	放射能濃度 pCi/l			
	緯度 (°N)	経度 (°E)						^{137}Cs	^{144}Ce	^{106}Ru	^{90}Sr
18	36-25.8	140-39.5	1983. 3.11	30	0	8.2	33.940	0.11±0.06 (0.13±0.03)	*	*	(0.09±0.02)
					28	8.2	33.934	0.13±0.06	*	*	
19	36-26.0	140-40.4	1983. 3.10	34	0	8.1	33.862	0.08±0.05 (0.08±0.05)	*	*	(0.08±0.02)
					32	8.1	33.924	0.10±0.05			
20	36-24.2	140-40.6	1983. 3.10	30	0	8.1	33.735	0.16±0.06 (0.13±0.04)	*	*	(0.07±0.02)
					28	8.1	33.896	0.11±0.03	*	*	
21	36-23.8	140-39.3	1983. 3.11	30	0	8.1	33.894	0.09±0.07 (0.15±0.04)	*	*	(0.07±0.02)
					28	8.1	33.892	0.07±0.03	*	*	
22	36-25.0	140-37.4	1983. 3.12	15	0	8.3	31.452	0.13±0.06 (0.13±0.02)	*	*	(0.06±0.02)
					13	8.2	33.727	0.15±0.06			
23	36-24.8	140-38.4	1983. 3.11	30	0	8.0	33.865	0.12±0.06 (0.15±0.05)	*	*	(0.07±0.020)
					28	8.2	33.862	0.18±0.06	*	*	
24	36-21.8	140-38.8	1983. 3.12	28	0	8.6	33.336	0.10±0.05	*	*	
25	36-21.6	140-39.8	1983. 3.10	35	0	8.1	33.836	0.13±0.06	*	*	
26	36-20.1	140-38.8	1983. 3.12	26	0	8.6	33.444	0.09±0.05	*	*	
27	36-20.0	140-37.5	1983. 3.12	15	0	8.5	33.440	0.10±0.03	*	*	
28	36-18.2	140-36.2	1983. 3.12	15	0	8.5	33.158	0.19±0.06	*	*	
29	36-18.2	140-37.5	1983. 3.12	21	0	8.5	33.076	0.08±0.06	*	*	
30	36-18.1	140-38.7	1983. 3.10	26	0	8.1	33.160	0.23±0.10	*	*	
31	35-50.3	141-00.3	1983. 3. 9	121	0	8.6	34.036	0.15±0.06	*	*	
32	36-00.0	141-01.8	1983. 3. 9	225	0	10.5	34.321	0.06±0.06	*	*	

表 5 (続)

Table 5 (continued)

測点 番号	採取位置		採取年月日	水深 m	採取深度 m	水温 °C	塩分	放射能濃度 pCi/l			
	緯度 (°N)	経度 (°E)						^{137}Cs	^{144}Ce	^{106}Ru	^{90}Sr
33	36-00.0	140-53.0	1983. 3.10	90	0	8.8	33.987	0.14±0.06	*	*	
34	36-00.0	140-45.8	1983. 3.10	25	0	8.4	33.836	0.13±0.06	*	*	
35	36-09.8	141-00.3	1983. 3. 9	450	0	11.5	34.436	0.25±0.05	*	*	
36	36-10.0	140-53.0	1983. 3.10	150	0	11.4	34.365	0.10±0.06	*	*	
37	36-10.0	140-46.6	1983. 3.10	47	0	8.8	34.054	0.11±0.03	*	*	
38	36-10.0	140-40.0	1983. 3.10	27	0	8.4	33.825	0.22±0.05	*	*	
39	36-20.0	140-39.8	1983. 3.10	24	0	8.3	33.703	0.04±0.09	*	*	
40	36-20.0	140-46.6	1983. 3.10	65	0	8.5	33.034	0.14±0.06	*	*	
41	36-20.0	140-52.8	1983. 3.10	160	0	10.5	34.309	0.13±0.06	*	*	
42	36-20.0	141-00.0	1983. 3. 9	460	0	11.6	34.430	0.04±0.10	*	*	
43	36-10.1	141-00.0	1983. 3. 9	210	0	8.3	33.946	0.17±0.06	*	*	
44	36-30.0	140-52.8	1983. 3. 9	124	0	9.3	34.110	0.18±0.06	*	*	
45	36-30.0	140-46.8	1983. 3. 9	68	0	9.0	34.087	0.07±0.07	*	*	
46	36-25.0	140-46.4	1983. 3. 9	71	0	8.6	34.049	0.07±0.06	*	*	
47	36-40.0	140-46.5	1983. 3. 9	22	0	8.3	33.867	0.16±0.06	*	*	
48	36-40.0	140-52.5	1983. 3. 9	75	0	9.1	34.070	0.15±0.06	*	*	
49	36-39.8	140-59.9	1983. 3. 9	125	0	8.9	34.058	0.06±0.06	*	*	
50	36-50.0	140-54.5	1983. 3.13	48	0	7.5	33.484	0.07±0.05	*	*	
51	36-50.1	141-00.1	1983. 3.13	102	0	7.9	33.861	0.04±0.06	*	*	
52	36-50.0	141-07.2	1983. 3.13	141	0	8.3	33.939	0.08±0.06	*	*	

表 5 (続)

Table 5 (continued)

測点 番号	採取位置		採取年月日	水深 m	採取深度 m	水温 °C	塩分	放射能濃度				
	緯度 (°N)	経度 (°E)						^{137}Cs	^{144}Ce	^{106}Ru	^{90}Sr	
3	36-37.3	140-44.4	1983. 9.26	28	0	20.8	32.922	0.13±0.03 (0.03±0.03)	*	*	(-0.05±0.07)	(0.05±0.02)
					25	19.6	33.461	0.07±0.03 (0.04±0.03)	*	*	(0.03±0.01)	(0.01±0.02)
6	36-34.5	140-41.8	1983. 9.25	27	0	21.0	32.715	0.14±0.02	*	*		
8	36-30.8	140-40.4	1983. 9.25	28	0	21.1	32.680	0.09±0.06	*	*		
10	36-30.0	140-39.0	1983. 9.25	19	0	21.2	32.667	0.11±0.03	*	*		
11	36-30.0	140-40.6	1983. 9.25	28	0	21.0	32.688	0.09±0.03	*	*		
12	36-28.1	140-40.4	1983. 9.25	32	0	20.5	32.835	0.13±0.03 (0.10±0.03)	*	*	(0.02±0.03)	(0.08±0.03)
					27	20.0	33.323	0.17±0.04 (0.10±0.02)	*	*	(0.01±0.01)	(0.01±0.02)
14	36-28.0	140-37.7	1983. 9.25	15	0	21.2	32.035	0.09±0.04	*	*		
16	36-25.9	140-37.3	1983. 9.25	15	0	21.3	32.717	0.11±0.03 (0.09±0.02)	*	*	(0.02±0.03)	(0.09±0.02)
					13	20.9	32.908	0.12±0.03 (0.09±0.04)	*	*	(0.01±0.01)	(0.01±0.03)
19	36-26.0	140-40.4	1983. 9.25	33	0	20.7	32.987	0.05±0.03 (0.10±0.04)	*	*	(0.00±0.02)	(0.10±0.03)
					30	20.0	33.349	0.10±0.03 (0.29±0.06)	*	*	(0.01±0.01)	(0.01±0.02)
20	36-24.0	140-40.5	1983. 9.25	32	0	20.8	32.631	0.06±0.04	*	*	(0.04±0.03)	(0.28±0.04)
					30	20.2	33.363	0.15±0.03	*	*	(0.02±0.01)	(0.02±0.02)
23	36-24.0	140-38.0	1983. 9.25	20	0	21.3	32.665	0.11±0.02	*	*		
24	36-22.0	140-38.9	1983.9.25	26	0	21.2	32.300	0.07±0.03	*	*		
25	36-22.0	140-40.5	1983. 9.25	37	0	20.9	32.325	0.09±0.03	*	*		
26	36-20.0	140-39.0	1983. 9.25	30	0	21.2	32.576	0.13±0.02	*	*		
29	36-18.2	140-37.5	1983. 9.25	23	0	21.1	28.252	0.07±0.02	*	*		
31	35-50.2	141-00.2	1983. 9.22	123	0	20.9	32.974	0.17±0.04	*	*		

表 5 (続)

Table 5 (continued)

測点 番号	採取位置		採取年月日	水深 m	採取深度 m	水温 °C	塩分	放射能濃度			
	緯度 (°N)	経度 (°E)						¹³⁷ Cs	¹⁴⁴ Ce	¹⁰⁶ Ru	⁹⁰ Sr
32	36-00.0	141-00.0	1983. 9.22	250	0	21.2	32.637	0.13±0.02	*	*	
33	35-59.8	140-53.0	1983. 9.23	95	0	20.5	33.155	0.15±0.04	*	*	
34	35-59.8	140-46.8	1983. 9.23	33	0	20.9	32.945	0.06±0.04	*	*	
35	36-08.9	141-00.2	1983. 9.23	430	0	20.5	33.247	0.07±0.03	*	*	
36	36-10.0	140-53.0	1983. 9.23	150	0	20.5	33.341	0.10±0.03	*	*	
37	36-10.0	140-46.6	1983. 9.23	54	0	20.5	33.259	0.11±0.03	*	*	
38	36-10.0	140-40.7	1983. 9.23	28	0	21.2	32.961	0.14±0.03	*	*	
40	36-19.2	140-46.4	1983. 9.23	63	0	20.3	33.287	0.09±0.03	*	*	
41	36-19.6	140-53.0	1983. 9.23	145	0	20.3	33.361	0.08±0.03 (0.10±0.03)	*	*	(0.07±0.03)
					135	15.3	33.932	0.06±0.03 (0.08±0.02)	*	*	(0.23±0.03)
42	36-20.0	140-59.4	1983. 9.23	470	0	20.4	33.254	0.11±0.02	*	*	
43	36-30.0	141-00.0	1983. 9.24	320	0	20.3	33.195	0.12±0.04	*	*	
44	36-30.0	140-52.9	1983. 9.24	118	0	20.6	33.255	0.08±0.03 (0.12±0.03)	*	*	(0.05±0.02)
					110	14.6	34.003	0.16±0.04 (0.13±0.05)	*	*	(0.08±0.02)
45	36-30.0	140-46.5	1983. 9.24	70	0	20.4	33.259	0.10±0.02	*	*	
46	36-25.0	140-46.6	1983. 9.23	73	0	20.6	33.318	0.09±0.02	*	*	(0.16±0.04)
					65	18.7	33.717	0.11±0.02 (0.11±0.02)	*	*	(0.11±0.03)
47	36-40.0	140-47.0	1983. 9.24	46	0	20.5	32.950	0.09±0.02	*	*	
48	36-40.5	140-53.0	1983. 9.24	82	0	20.3	33.067	0.14±0.03 (0.17±0.03)	*	*	(0.09±0.02)
					78	16.4	33.935	0.13±0.04 (0.10±0.02)	*	*	(0.17±0.03)
49	36-40.0	141-00.0	1983. 9.24	130	0	20.2	33.138	0.14±0.02			

表 6 常磐沖放射能調査結果—海底土 (昭和58年)

Table 6 Radioactivity Survey Data of Marine Sediments at the Coast of JOBAN in 1983

測点 番号	採取位置		採取年月日	水深 m	放射能濃度 pCi/Kg-乾土			粒度分布 %				中央粒径 μm
	緯度('N)	経度('E)			¹³⁷ Cs	¹⁴⁴ Ce	¹⁰⁶ Ru	> 2 _{mm}	2~0.42 _{mm}	0.42 ~ 0.074 _{mm}	0.074 _{mm} >	
3	36-37.0	140-44.5	1983. 3.12	41	65± 4	70±12	*	0.6	4.3	54.4	40.7	88.
6	36-34.7	140-41.8	1983. 3.12	24	19± 2	28± 6	*					
7	36-34.5	140-40.5	1983. 3.12	15	21± 2	*	*	0.1	1.2	95.0	3.7	137.
8	36-31.5	140-40.1	1983. 3.12	22	14± 2	*	*	63.6	24.4	9.1	2.9	3360.
9	36-31.6	140-39.0	1983. 3.12	15	13± 2	*	*	5.4	8.9	81.8	3.9	153.
13	36-27.9	140-38.8	1983. 3.11	23	37± 3	*	*	0.7	6.4	85.4	7.5	204.
14	36-27.9	140-37.8	1983. 3.12	11	11± 2	(53± 4)	(19± 5)	0.2	0.8	96.1	2.9	144.
15	36-27.0	140-37.4	1983. 3.12	15	15± 2	*	*	0.3	0.8	96.9	2.0	145.
16	36-26.0	140-37.3	1983. 3.12	15	12± 2	(16± 3)	(23± 8)	0.6	4.9	82.8	11.7	151.
17	36-25.9	140-38.6	1983. 3.11	25	45± 3	49± 9	*	13.0	20.2	36.2	30.6	106.
18	36-25.8	140-39.5	1983. 3.11	30	15± 2	(17± 4)	(14± 5)	13.8	54.9	26.4	4.9	628.
19	36-26.0	140-40.4	1983. 3.10	34	11± 2	*	*	10.9	54.8	33.7	0.6	590.
21	36-23.8	140-39.3	1983. 3.11	30	18± 2	(17± 3)	(39± 6)	31.2	58.8	7.1	2.9	1067.
22	36-25.0	140-37.4	1983. 3.12	15	6.7± 1.5	28± 6	*					
23	36-24.8	140-38.4	1983. 3.11	30	29± 3	(36± 4)	(8± 3)	5.1	4.4	82.4	8.1	121.
24	36-21.8	140-38.8	1983. 3.12	28	7.4± 1.7	*	*	44.2	53.6	1.9	0.3	1770.
25	36-21.6	140-39.8	1983. 3.10	35	19± 2	(17± 3)	(8± 3)	0.4	3.0	91.7	4.9	171.
26	36-20.1	140-38.8	1983. 3.12	26	21± 2	(18± 3)	(11± 4)	0.3	5.6	86.4	7.7	152.
27	36-20.0	140-37.5	1983. 3.12	15	14± 2	(21± 3)	(8± 3)	0.0	0.2	95.9	3.9	147.
28	36-18.2	140-36.2	1983. 3.12	15	15± 2	*	*	0.0	0.3	95.3	4.4	131.
29	36-18.2	140-37.5	1983. 3.12	21	24± 2	*	*	0.1	0.1	87.2	12.6	106.

表 6 (続)

Table 6 (continued)

測点 番号	採取位置		採取年月日	水深 m	放射能濃度 pCi/Kg-乾土			粒度分布 %				中央粒径 μm
	緯度(°N)	経度(°E)			¹³⁷ Cs	¹⁴⁴ Ce	¹⁰⁶ Ru	> 2 _{mm}	2~0.42 _{mm}	0.42 ~ 0.074 _{mm}	0.074 _{mm} >	
31	35-50.3	141-00.3	1983. 3. 9	121	73± 4	81±12	*	0.1	1.7	41.2	57.0	66.
32	36-00.0	141-01.8	1983. 3. 9	225	41± 3	54±10	*	0.1	1.4	80.9	17.6	121.
33	36-00.0	140-53.0	1983. 3.10	90	57± 3	61±10	*	0.3	1.4	85.1	13.2	166.
34	36-00.0	141-45.8	1983. 3.10	25	*	*	*	0.0	0.4	99.0	0.6	170.
35	36-09.8	141-00.3	1983. 3. 9	450	79± 4	*	*	0.8	2.2	44.9	52.1	72.
36	36-10.0	140-53.0	1983. 3.10	150	49± 3	* (41± 4)	* (1± 3)	0.0	1.2	81.7	17.1	142.
37	36-10.0	141-46.6	1983. 3.10	47	15± 2	*	*	0.1	0.7	97.7	1.5	184.
38	36-10.0	140-40.0	1983. 3.10	27	23± 2	* (9± 4)	* (7± 4)	0.5	2.3	95.9	1.3	150.
40	36-20.0	140-46.6	1983. 3.10	65	15± 2	* (10± 3)	* (7± 3)	3.6	51.7	43.6	1.1	460.
41	36-20.0	140-52.8	1983. 3.10	160	43± 2	58±11	*	1.0	13.7	78.5	6.8	193.
42	36-20.0	141-00.0	1983. 3. 9	460	77± 4	45± 8 (31± 5)	* (6± 4)	1.3	1.5	47.6	49.6	74.
43	36-10.1	141-00.0	1983. 3. 9	210	54± 3	34± 8	*	0.3	15.6	76.3	7.8	267.
44	36-30.0	140-52.8	1983. 3. 9	124	53± 3	* (44± 4)	* (9± 4)	0.0	8.3	65.8	25.9	138.
45	36-30.0	140-46.8	1983. 3. 9	68	79± 4	32± 7	*	14.3	33.8	48.2	3.7	396.
46	36-25.0	140-46.4	1983. 3. 9	71	46± 3	58±11 (41± 4)	* (-1± 4)	0.4	3.3	78.6	17.7	162.
47	36-40.0	140-46.5	1983. 3. 9	22	25± 8	*	*					
48	36-40.0	140-52.5	1983. 3. 9	75	63± 4	61±10	*	0.0	1.5	69.3	29.2	98.
49	36-39.8	140-59.9	1983. 3. 9	125	65± 3	43± 9	*	0.5	11.4	55.0	33.1	113.
50	36-50.0	141-54.5	1983. 3.13	48	27± 2	*	*	0.0	0.1	88.1	11.8	113.
51	36-49.9	141-00.0	1983. 3.18	96	96± 5	100±14	*	0.0	6.7	39.6	53.7	70.
52	36-50.0	141-07.2	1983. 3.13	141	74± 3	*	*	3.5	16.3	64.5	15.7	224.

表 6 (続)

Table 6 (continued)

測点 番号	採取位置		採取年月日	水深 m	放射能濃度 pCi/Kg-乾土			粒度分布 %				中央粒径 μm
	緯度(°N)	経度(°E)			¹³⁷ Cs	¹⁴⁴ Ce	¹⁰⁶ Ru	> 2 _{mm}	2~0.42 _{mm}	0.42 ~ 0.074 _{mm}	0.074 _{mm} >	
3	36-37.3	140-44.4	1983. 9.26	28	*	* (-2± 4)	* (5± 3)	0.2	8.0	91.1	0.7	287.
5	36-37.3	140-43.2	1983. 9.25	22	6.3± 1.7	*	*	16.5	43.8	38.2	1.5	558.
6	36-34.5	140-41.8	1983. 9.25	27	23± 2	* (21± 5)	* (8± 3)	8.8	26.2	65.0	10.2	140.
7	36-34.5	140-40.6	1983. 9.25	18	14± 3	*	*	45.4	15.2	32.4	7.0	879.
8	36-30.8	140-40.4	1983. 9.25	28	11± 2	*	*	14.7	21.8	48.8	14.7	283.
9	36-31.2	140-39.0	1983. 9.25	19	14± 3	*	*	50.4	9.8	25.9	13.9	1957.
11	36-30.0	140-40.6	1983. 9.25	28	22± 2	* (30± 5)	* (30± 8)	23.9	10.3	51.8	14.0	211.
14	36-28.0	140-37.7	1983. 9.25	15	12± 3	* (1± 4)	* (8± 3)	0.4	1.6	92.7	5.3	147.
16	36-25.9	140-37.3	1983. 9.25	15	14± 3	* (40± 5)	* (4± 3)	0.4	2.4	94.4	2.8	150.
19	36-26.0	140-40.4	1983. 9.25	33	12± 1	*	*	34.0	48.5	17.0	0.5	1136.
23	36-24.0	140-38.0	1983. 9.25	20	27± 3	* (17± 5)	* (9± 3)	3.9	3.3	79.0	13.8	130.
24	36-22.0	140-38.9	1983. 9.25	26	8± 3	* (9± 4)	* (7± 3)	48.9	44.7	6.0	0.4	1984.
25	36-22.0	140-40.5	1983. 9.25	37	43± 2	*	*	45.3	45.2	6.9	2.6	1838.
26	36-20.0	140-39.0	1983. 9.25	30	12± 2	*	*	9.6	84.0	5.5	0.9	1002.
27	36-20.0	140.37.5	1983. 9.25	17	16± 3	* (0± 4)	* (5± 3)	0.1	0.5	92.1	7.3	134.
28	36-18.2	140-36.0	1983. 9.25	17	17± 2	*	*	0.1	0.5	94.3	5.1	130.
29	36-18.2	140-37.5	1983. 9.25	23	44± 3	*	*	0.2	3.2	63.8	32.8	101.
31	36-50.2	141-00.2	1983. 9.22	123	74± 4	*	*	0.0	3.4	47.9	48.7	77.
32	36-00.0	141-00.0	1983. 9.22	250	47± 3	*	*	0.2	0.9	71.9	27.0	105.
33	35-59.8	140-53.0	1983. 9.23	95	45± 3	*	*	0.1	1.5	87.6	10.8	150.
34	35-59.8	140-46.8	1983. 9.23	33	5.4± 1.8	* (5± 4)	* (1± 3)	0.1	2.1	97.4	0.4	227

表 6 (続)

Table 6 (continued)

測点 番号	採取位置		採取年月日	水深 m	放射能濃度 pCi/Kg-乾土			粒度分布 %				中央粒径 μm
	緯度('N)	経度('E)			¹³⁷ Cs	¹⁴⁴ Ce	¹⁰⁶ Ru	> 2 _{mm}	2~0.42 _{mm}	0.42 ~ 0.074 _{mm}	0.074 _{mm} >	
35	36-08.9	141-00.2	1983. 9.23	430	76± 4	* (30± 5)	* (36± 6)	1.7	2.6	54.3	41.4	86.
36	36-10.0	140-53.0	1983. 9.23	150	51± 3	*	*	0.4	1.9	82.2	15.5	138.
37	36-10.0	140-46.6	1983. 9.23	54	13± 2	* (24± 5)	* (-1± 3)	0.2	4.0	94.8	1.0	208.
38	36-10.0	140-40.7	1983. 9.23	28	23± 2	*	*	0.3	3.7	95.5	0.5	171.
40	36-19.2	140-46.4	1983. 9.23	63	15± 2	*	*	10.0	74.8	13.5	1.7	903.
41	36-19.6	140-53.0	1983. 9.23	145	44± 3	* (20± 5)	* (10± 3)	0.7	11.1	82.3	5.9	200.
42	36-20.0	140-59.4	1983. 9.23	470	97± 5	89± 2	*	2.0	3.2	54.7	40.1	90.
43	36-30.0	141-00.0	1983. 9.24	320	68± 4	* (51± 5)	* (12± 3)	3.1	1.9	68.2	26.8	127.
44	36-30.0	140-52.9	1983. 9.24	118	59± 3	*	*	0.2	8.4	70.8	20.6	185.
45	36-30.0	140-46.5	1983. 9.24	70	54± 3	* (62± 6)	* (17± 3)	13.2	30.2	35.5	21.1	318.
46	36-25.0	140-46.6	1983. 9.23	73	43± 3	*	*	27.0	26.3	40.2	6.5	530.
47	36-40.0	140-47.0	1983. 9.24	46	68± 3	* (65± 6)	* (7± 3)					
48	36-40.5	140-53.0	1983. 9.24	82	76± 4	*	*	0.7	2.2	59.8	37.3	102.
49	36-40.0	141-00.0	1983. 9.24	130	70± 3	25± 9	*	2.2	13.3	63.8	20.7	242.
50	36-50.0	140-53.3	1983. 9.24	52	41± 3	*	*	0.6	0.6	75.2	23.6	99.
51	36-50.0	141-00.3	1983. 9.24	105	130±10	*	*	0.8	3.2	46.0	50.0	74.
52	36-50.0	141-04.5	1983. 9.24	129	77± 4	*	*	1.6	14.5	53.0	30.9	194.
54	36-59.7	141-04.8	1983. 9.26	88	62± 3	*	*	1.0	5.5	59.6	33.9	102.
55	37-00.0	141-09.6	1983. 9.26	128	71± 4	*	*	5.7	8.5	36.9	48.9	76.
56	37-00.4	141-15.0	1983. 9.26	138	53± 3	*	*	1.6	15.6	65.9	16.9	259.

4. 放射性固化体の試験的海洋処分に伴う放射能調査

4.1 調査の概要

放射性固化体の海洋処分に係る、候補海域選定のための海洋環境調査の一環として、海上保安庁は昭和47年度(1972年度)から3ヶ年計画で4点の候補海底地形・地質調査及び海水・海底土の放射能調査を実施した。その成果を基礎として、昭和52年度(1977年度)からは、試験的海洋処分に先だつ海水・海底土の放射能バックグラウンド把握のために2点の候補海域(A海域: 26°N, 150°E及びB海域: 30°N, 147°E)を調査し、昭和56年度からは、B海域を対象とし、かつ、海域を広げて海底地形・地質調査及び海水・海底土の放射能調査を開始した。(図24参照) 今回の報告は昭和58年の放射能調査結果をまとめたものである。

分析核種は、海水については、ストロンチウム-90 (Sr-90, 半減期28年), セシウム-137 (Cs-137, 半減期30年)及びコバルト-60 (Co-60, 半減期5.3年)の3核種、海底土についてはプルトニウム-239+240 (Pu-239, 半減期24,390年, Pu-240, 半減期6,580年)を加えた4核種である。放射能測定は放射化学分析による。

4.2 試料採取

試料は海上保安庁水路部所属の測量船「昭洋」(1,841トン)によって採取作業を行った。

昭和56年及び57年における試料採取時期及び採取試料数を下表に、又、試料採取点の位置を測点番号とともに図24に示す。

採取時期	海水試料数	海底土試料数
昭和58年7月11日～7月26日	20	17

採水は、底上10m及び100mの2層であるが採水器を2台連結し、2層を同時に採水した。又、第5測点ではこれら以外に各層採水も実施した。

海水は、採水後直ちに、一部を塩分測定用に保存し、残りの試料に塩酸(2ml/1ℓ海水)を加えて、放射能測定用の分析試料とした。

海底土は船上において、採取した試料の表層2cm(一部試料では2.5cm)をとり分けてこれを保存した。なお可能な場合は表層以外も層に分けて保存した。こ

れらは実験室内において80℃で乾燥，粉碎し，分析試料とした。

試料採取に使した主な機器は次のとおりである。

採 水 プラスチック製メッセンジャー式100ℓ採水器（離合社製）

採 泥 スミス・マッキンタイヤ型採泥器

（離合社製 重量約180kg，採取面積約0.1m²）

柱状採泥器（離合社製・内径95mm）

メッセンジャー式切離装置（離合社製）……………一部で使用

深度決定 ピンガー（Benthos社製2216型 12KHz）

中深海用音響測深機（日本電気製NS-16A型）

なお，測点の位置決定にはNNS S及びロランCを用いた。

4.3 分 析 法

各試料は機種ごとに以下のような化学処理により分離精製し，ベータ線計測及びアルファ線計測を行った。化学収率の補正は，Srでは標準添加法を用いる原子吸光光度法で，Co，Cs及びY（イットリウム）では添加した担体の回収重量から，又Puでは添加した既知濃度のPu同位体の計数と比較する事により求めた。なお分析に供した試料量は，海水100ℓ（表面～500mは40ℓ，750mは60ℓ）海底上300g及び100g（Pu）である。

4.3.1 海 水

〔Cs-137〕 塩酸酸性の海水試料にリンモリブデン酸アンモニウムを加えCsを吸着させ，リンモリブデン酸アンモニウムをろ別した。（上澄み液，ろ液はSr-90，Co-60の分析に用いる。）沈殿物を水酸化ナトリウム水溶液で溶解しDuolite C-3を用いる陽イオン交換法で分離精製した後，塩化白金酸塩として沈殿させ，ろ別，乾燥して計測試料とした。

〔Sr-90〕 Cs-137の分析中に得られた上澄み液，ろ液を中和後炭酸ナトリウムを加え，Sr及びCoを沈殿させ，ろ別した。沈殿物を硝酸で溶解し，その溶液を煮沸して炭酸ガスを除いた後，水酸化ナトリウムを加え弱塩基性としてCoを水酸化マグネシウムと共沈させ，ろ別した。（沈殿物はCo-60の分析に用いる。ろ液は酸性とした後，Y担体を加え2週間以上放置する。Sr-90と放射平衡にあるY-90を，水酸化マグネシウムと共沈させ，ろ別する。沈殿物を塩酸で溶解しジエチルヘキシルリン酸抽出法，さらに陽イオン交換法により分離精製し，シュウ酸塩として沈殿させ，ろ別，乾燥して計測試料とした。

〔Co-60〕 Sr-90の分析中に得られた沈殿物を8N塩酸に溶解して陰イオン交換樹脂に通し、Coを吸着させた。吸着させたCoは4N塩酸で溶離した後、ラトラハイドロフロン-塩酸混液を用いる陽イオン交換法により分離精製し、銅板上に電着して計測試料とした。

4.3.2 海底土

Co-60, Cs-137及びSr-90の分析法は1.3(「日本近海における海水及び海底土の放射能調査」の分析法)に同じである。

〔Pu-239+240〕 Pu-242標準溶液を添加した乾土100gを分析に供した。以下の操作は、1.3と同じである。なお第9測点の柱状試料では、8.4N硝酸流出液・洗液をCs-137の分析に、又、10N塩酸洗液をトリウムの分析に用いた。

〔トリウム〕 堆積速度の測定のため、第9測点の柱状試料についてトリウムの分析を行った。プルトニウムの分析途中で得られた10N塩酸洗液の十分の一の量を蒸発乾固した後、ステンレス板上に電着してアルファ線スペクトル計測試料とした。

4.4 放射能測定装置及び計測時間

ベータ線計測に用いた測定装置は次の通りである。

- 低バックグランドベータ線スペクトロメータ(富士電気製 ピコベータ)
- 自動試料交換装置付低バックグランドガスフローカウンター
(アロカ製 LBC-451B型)

各核種ごとに用いた測定装置と計測時間は次の通りである。

	Sr-90	Cs-137	Co-60
海水	LBC-451B (1,000分)	ピコベータ (1,000分)	ピコベータ (1,000分)
海底土	LBC-451B (1,000分)	ピコベータ (400分)	ピコベータ (1,000分)

又、プルトニウム及びトリウムのアルファ線スペクトル計測には検出器としてORTEC社製BA-21-450-100型表面障壁型Si半導体検出器を、波高分析器としてCANBERRA社製8605型マルチチャンネルアナライザーを用いた。

なお、計測エネルギー範囲は2~8MeV、計測時間はプルトニウムが8,000

秒、トリウムが6,000秒である。

4.5 結 果

昭和58年のB海域の海水及び海底土の放射能測定結果をそれぞれ表7及び表8に計数誤差と共に示した。表7中の昭和58年第5測点の各層水は、底上10m及び100mの底層水の値が重複して記載してある。また海水のSr-90及びCs-137については試薬空試験を行いブランク補正を行ってある。更にプルトニウムは放射化学分析及びα線スペクトル計測ではPu-239とPu-240の分離定量ができないためPu-239+240と表示した。

4.5.1 海 水

水深6,200m程度の深海における底層水のSr-90及びCs-137の濃度は表7に示すようにそれぞれ海水1,000ℓあたり0～1.7 pCi, 0～0.7 pCiと若干のばらつきは有るものの、表面海水のレベルの数十分の1程度と従来同様低いレベルであった。前半に見られた海底に近い底上10m層が底上100m層と比較してやや高い傾向は本年は見られない。

図2.5には第3測点におけるSr-90及びCs-137の鉛直分布を水温及び塩分と共に示した。これによると、Sr-90及びCs-137は同様の分布傾向を示している。即ち、表面から深くなるにつれて濃度はやや増加して250m付近で最大となり、深さ500～1,500mにおいては急激に減少し、深さ1,500m～底上ではほぼ一定で非常に低いレベルとなっている。

これに対してCo-60は1,000ℓあたり0～2 pCiといずれの試料も非常に低いレベルであった。

4.5.2 海 底 土

B海域において採取された海底土は、いずれも均質な比較的軟らかい赤色粘土であり、表面及び海底土中には数cm程度の表面がマンガン酸化物等で被覆された軽石が見られた。

海底土の表面(0～2cm層)におけるPu-239+240, Cs-137, Sr-90及びCo-60は表8に示すとおり、それぞれ乾土1kgあたり1.6～3.9 pCi, 7～17 pCi, 0～2.9 pCi, 0.2～1.1 pCiの濃度の範囲で日本近海の浅海における濃度レベルよりかなり低く、中でもPu-239+240にその傾向が著しい。

海底土を層に分けて分析した結果では、一部かく乱はあるものの、いずれの核

種も層が深くなるにつれて濃度が低くなる傾向にある。図27は、第9測点の柱状試料について、トリウム(Th)を分析し、Th-230 / Th-232の放射能比の深度変化を示したもので、直線の傾きから得た堆積速度は1,000年で数mmであった。表8によれば、表面(0~2.25cm層)以下の層でもいずれの核種も検出されており、上記の堆積速度と合せて考えると、一旦海底表面に堆積した人工放射性核種が、海底土中を拡散している事が推測される。この拡散は海底表面から20cm程度まで及んでいるが、その機構はこれまでのところ明らかではない。

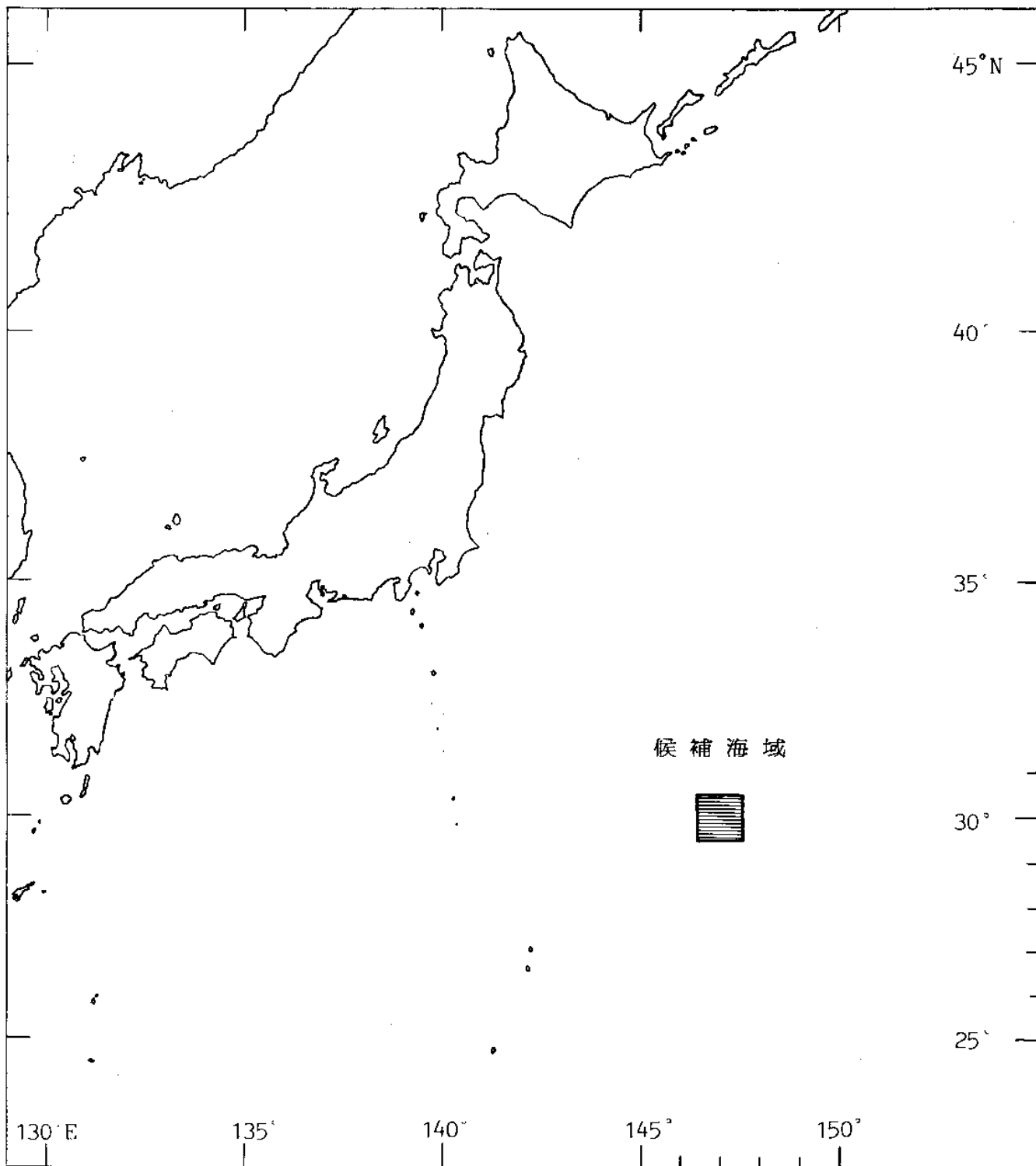


図 24 放射性固体廃棄物の海洋処分候補海域 (調査海域)

Fig. 24 Proposed Ocean Dumping Site for Radioactive Solid Waste

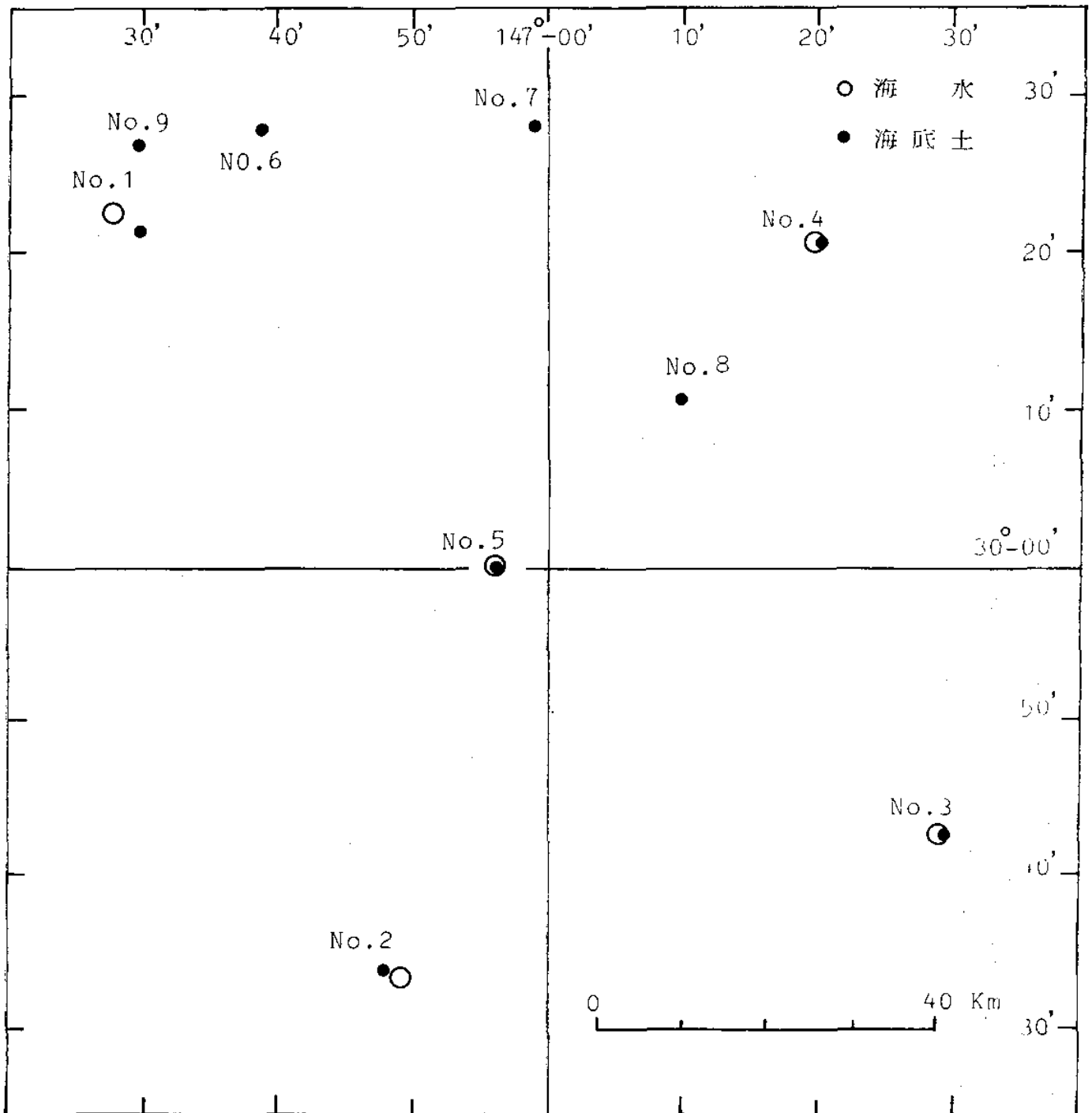


図 25 試験的海洋投棄候補海域 (B海域) の放射能調査試料採取点
および測点番号 (昭和58年)

Fig. 25 Sampling Points for Radioactivity Survey and Point Numbers
in the Proposed Dumping Site (B-Site) in 1983

表 7 放射性固体廃棄物の試験的海洋投棄候補海域の放射能調査結果—海水（昭和58年）

Table 7 Radioactivity Survey Data of Sea Water in the Proposed Dumping Site for Radioactive Solid Waste in 1983

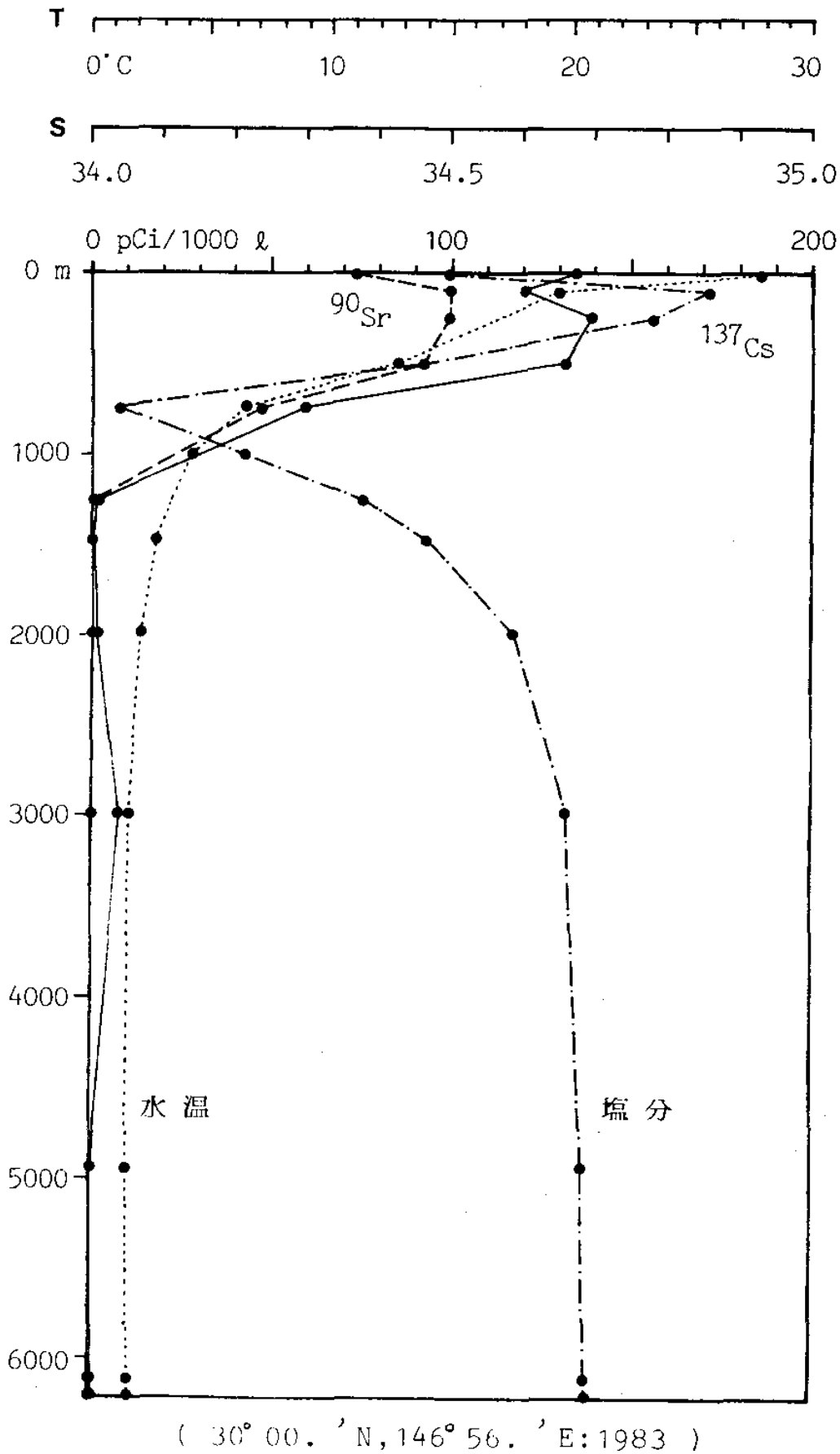
測点 番号	採取位置		採取年月日	水深 (m)	採水深度 (m)	水温 (°c)	塩分	放射能濃度 (pCi/ 1000ℓ)		
	緯度	経度						¹³⁷ Cs	⁹⁰ Sr	⁶⁰ Co
底上 10m 層										
1	30-22.2N	146-27.8E	1983. 7.13	6200	6190	1.65	34.701	0.7±1.1	0.3±1.2	0.5±0.6
2	29-33.4N	146-49.2E	1983. 7.17	6080	6070	1.64	34.695	- 0.3±1.1	0.8±0.6	1.4±0.6
3	29-42.7N	147-28.8E	1983. 7.18	6290	6280	1.68	34.691	- 0.5±1.1	0.7±1.0	- 0.1±0.8
4	30-20.5N	147-19.7E	1983. 7.20	6220	6210	1.64	34.693	0.4±1.1	0.6±0.6	0.0±0.6
5	30-00.9N	146-56.3E	1983. 7.22	6220	6210	1.66	34.691	0.7±1.1	- 0.9±1.2	- 1.0±0.6
平均								0.2	0.3	0.2
底上 100m 層										
1	30-22.2N	146-27.8E	1983. 7.13	6200	6100	1.64	34.690	- 0.2±1.1	1.5±0.9	0.4±0.6
2	29-33.4N	146-49.2E	1983. 7.17	6080	5980	1.64	34.690	- 0.3±1.1	- 0.3±0.8	0.0±0.6
3	29-42.7N	147-28.8E	1983. 7.18	6290	6190	1.67	34.691	- 0.5±1.1	0.9±1.0	- 0.6±0.8
4	30-20.5N	147-19.7E	1983. 7.20	6220	6120	1.65	34.692	- 0.5±1.0	1.7±0.9	0.6±0.8
5	30-00.9N	146-56.3E	1983. 7.22	6220	6120	1.65	34.692	0.7±1.1	- 0.9±0.9	- 0.1±0.7
平均								- 0.1	0.6	0.1
各 層										
5	30-00. N	146-56. E	1983. 7.22	6220	5	27.8	34.491	135 ±5	72.9±3.1	1.4±1.4
					100	19.36	34.858	120 ±4	99.9±3.2	1.9±1.3
					250	16.79	34.779	139 ±5	99.3±2.8	- 0.2±1.3
					500	12.71	34.462	132 ±5	93.0±3.0	0.1±1.4
					750	6.32	34.040	59.3±2.4	48.0±1.5	- 0.8±1.1
					1250	3.25	34.379	1.8±1.0	0.2±0.9	0.5±0.6
					1480	2.72	34.469	0.4±1.1	- 0.1±1.5	0.2±0.7
					1970	2.04	34.588	1.6±1.1	- 2.0±0.9	0.3±1.2
					2970	1.61	34.659	8.6±1.2	- 2.0±1.7	0.4±0.6
					4940	1.55	34.684	- 0.3±1.2	0.5±1.8	0.1±0.7
6120	1.65	34.692	0.7±1.1	- 0.9±0.9	- 0.1±0.7					
6210	1.66	34.691	0.7±1.1	- 0.9±1.2	- 1.0±0.6					

表 8 放射性固体廃棄物の試験的海洋投棄候補海域の放射能調査結果—海底土（昭和58年）

Table 8 Radioactivity Survey Data of Marine Sediments in the Proposed Dumping Site for Radioactive Solid Waste in 1983

測点 番号	採取位置		採取年月日	水深 (m)	試料厚 (cm)	放射能濃度 (pCi/kg- 乾土)			
	緯度	経度				$^{239+240}\text{Pu}$	^{137}Cs	^{90}Sr	^{60}Co
1	30-21.3N	146-29.6E	1983. 7.21	6170	0 ~ 2	3.4±0.3	13.3±0.9	1.1±0.3	0.7±0.2
2	29-34.0N	146-48.3E	1983. 7.17	6060	0 ~ 2	2.6±0.3	9.4±0.8	0.7±0.6	0.2±0.2
					2 ~ 5	1.9±0.3	12.9±0.8	1.3±0.4	0.3±0.2
					5 ~ 8	0.8±0.1	8.1±0.7	-0.2±0.4	0.1±0.2
					8 ~ 11	0.5±0.1	2.0±0.6	0.1±0.4	-0.2±0.2
3	29-42.8N	147-29.3E	1983. 7.18	6310	0 ~ 2	2.4±0.3	9.1±0.7	0.5±0.4	0.3±0.2
4	30-20.3N	147-20.0E	1983. 7.19	6220	0 ~ 2	1.6±0.4	8.2±0.6	1.5±0.5	0.7±0.2
5	30-00.5N	146-56.4E	1983. 7.20	6220	0 ~ 2	3.9±0.5	14.7±0.8	2.9±0.5	1.0±0.2
6	30-27.8N	146-38.9E	1983. 7.13	6220	0 ~ 2	2.5±0.4	17.2±0.9	1.4±0.9	1.1±0.2
7	30-27.7N	146-59.0E	1983. 7.14	6170	0 ~ 2	1.7±0.2	7.1±0.6	-1.1±0.7	0.3±0.2
8	30-10.7N	147-09.8E	1983. 7.20	6250	0 ~ 2	2.6±0.3	10.8±0.8	0.8±0.4	0.1±0.2
平均*						2.6	11.2	1.0	0.5
9	30-27.0N	146-39.5E	1983. 7.14	6200	0 ~ 2.5	1.6±0.3	17.6±2.4		
					2.5 ~ 7.5	0.2±0.1	5.7±1.7		
					7.5 ~ 12.5	0.1±0.1	1.6±1.6		
					12.5 ~ 17.5	0.1±0.1	2.9±3.3		
					17.5 ~ 22.5	0.0±0.0	2.9±1.7		
22.5 ~ 27.5	0.0±0.0	2.1±3.0							

* 0 ~ 2 cm 層の平均値



(30° 00. ' N, 146° 56. ' E: 1983)

図 26 試験的海洋投棄候補海域 (B海域) における海水中的 Sr-90, Cs-137 および水温, 塩分の鉛直分布

Fig. 26 Vertical Distributions of Concentrations of Sr-90 and Cs-137, Water Temperature and Salinity in the Sea Water in the Proposed Dumping Site (B-Site)

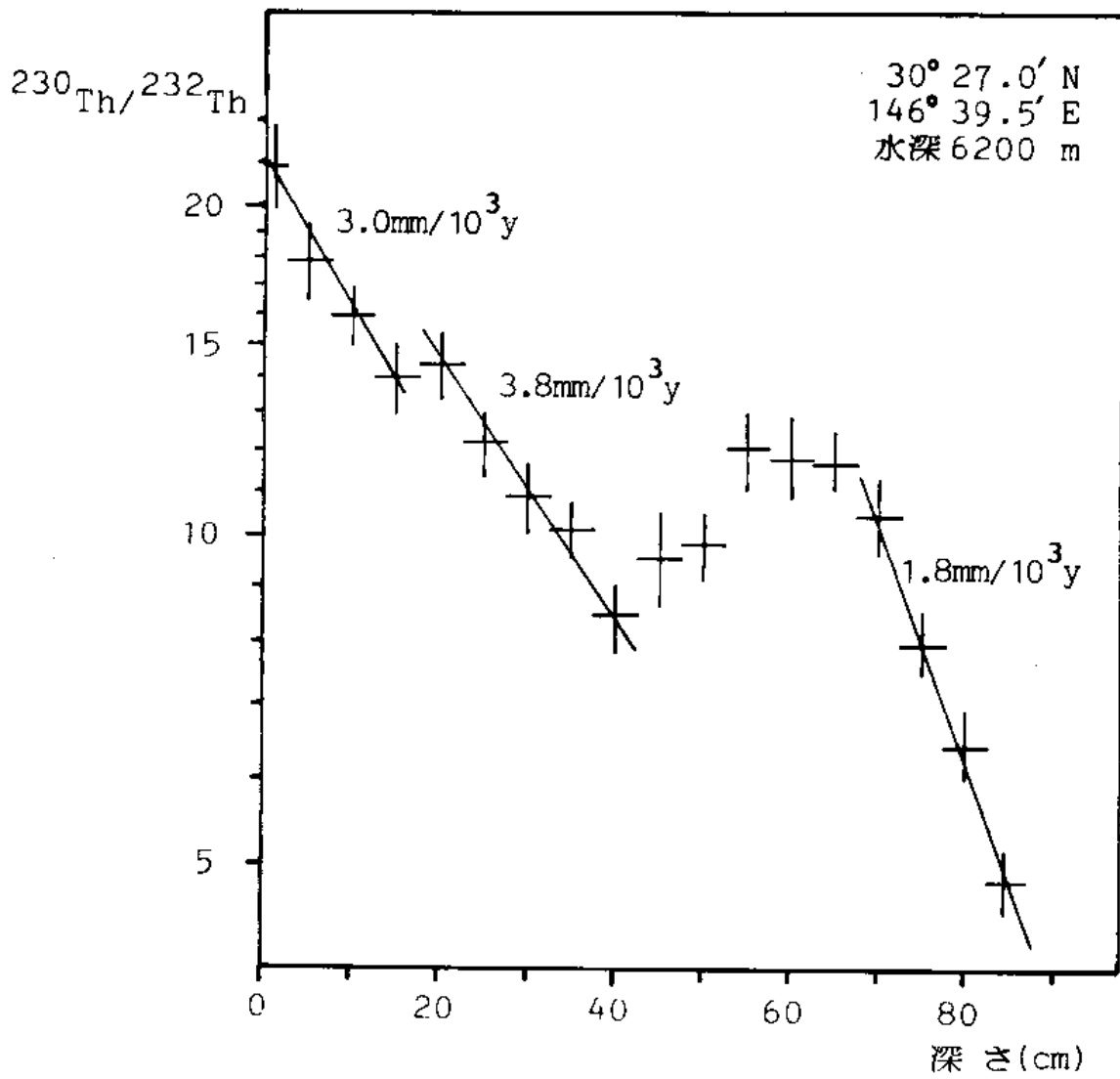


図 27 海底土中のTh-230/Th-232比の鉛直分布と堆積速度

Fig. 27 Vertical Distribution of Th-230/Th-232 Ratio in the Sediment and Sedimentation Rate